

SIMULACIJA RADA UREĐAJA ZA MJERENJE TOPLINSKE VODLJIVOSTI IZOLACIJSKIH MATERIJALA

Martinić, Josip

Undergraduate thesis / Završni rad

2023

Degree Grantor / Ustanova koja je dodijelila akademski / stručni stupanj: **University of Split / Sveučilište u Splitu**

Permanent link / Trajna poveznica: <https://urn.nsk.hr/um:nbn:hr:228:265447>

Rights / Prava: [In copyright/Zaštićeno autorskim pravom.](#)

Download date / Datum preuzimanja: **2024-06-29**



Repository / Repozitorij:

[Repository of University Department of Professional Studies](#)



SVEUČILIŠTE U SPLITU
SVEUČILIŠNI ODJEL ZA STRUČNE STUDIJE

Prijediplomski stručni studij Konstrukcijsko strojarstvo

JOSIP MARTINIĆ

ZAVRŠNI RAD

**SIMULACIJA RADA UREĐAJA ZA MJERENJE
TOPLINSKE VODLJIVOSTI IZOLACIJSKIH
MATERIJALA**

Split, rujan 2023.

SVEUČILIŠTE U SPLITU
SVEUČILIŠNI ODJEL ZA STRUČNE STUDIJE

Prijediplomski stručni studij Konstrukcijsko strojarstvo

Predmet: Materijali 1

Z A V R Š N I R A D

Kandidat: Josip Martinić

Naslov rada: Simulacija rada uređaja za mjerjenje toplinske vodljivosti izolacijskih materijala

Mentor: Igor Gabrić

Split, rujan 2023.

**REPUBLIKA HRVATSKA
SVEUČILIŠTE U SPLITU
Sveučilišni odjel za stručne studije**

Studij: Konstrukcijsko strojarstvo

Predmet: Materijali 1

Nastavnik: Igor Gabrić, v. pred.

ZADATAK

Kandidat: Josip Martinić

Zadatak: Simulacija rada uređaja za mjerjenje toplinske vodljivosti izolacijskih materijala

U radu je potrebno:

- Uvodno se osvrnuti o metodama mjerjenja toplinske vodljivosti izolacijskih materijala
- Posebno se osvrnuti na postupak mjerjenja toplinske vodljivosti metodom vrućeg diska
- Opisati način primjene metode konačnih elemenata (MKE) za rješavanje problema nestacionarnog toplinskog toka
- Koncipirati uređaj za ispitivanje toplinske vodljivosti metodom vrućeg diska te definirati najvažnije parametre uređaja (geometrija, svojstva materijala ...)
- Izvršiti modeliranje uređaja svođenjem na 2D problem nestacionarnog toplinskog toka (modelirani uređaj za analizu MKE prikazati skicom)
- Prikazati načredni postupak rješavanja problema primjenom MKE
- Primjenom raspoloživog Python programa provesti više pokusa prema unaprijed utvrđenom planu
- Rezultate pokusa statistički obraditi i analizirati
- Na temelju provedene analize odrediti najvažnije konstrukcijske mjere za izradu uređaja (dimenzije uzorka, mjerna mjesta, izolacijski materijal i debljine izolacije ...)
- Iznijeti zaključke
- Navesti literaturu i izvore podataka.

Sažetak

U uvodnom dijelu ovoga rada prikazana je podjela metoda mjerjenja toplinske vodljivosti izolacijskih materijala na dvije osnovne skupine: stacionarne i nestacionarne metode, te su ukratko prikazane neke od metoda. Opisan je način primjene metode konačnih elemenata za koju je potom koncipiran i modeliran uređaj za mjerjenje toplinske vodljivosti izolacijskih materijala, te je prikazan način postavljanja ravnoteže za jedan čvor. Primjenom raspoloživog Python programa za simulaciju rada uređaja za mjerjenje toplinske vodljivosti izolacijskih materijala provedeni su pokusi prema utvrđenom planu, nakon čega su rezultati analizirani te je donesen zaključak o dimenzijama uređaja.

Ključne riječi: toplinska vodljivost, metoda konačnih elemenata, simulacija, analiza

Summary (Simulation of the device for measuring the thermal conductivity of insulating materials)

In the introductory part of this paper, the division of methods for measuring the thermal conductivity of insulating materials into two basic groups is presented: stationary and non-stationary methods, and some of the methods are briefly presented. The method of applying the finite element method is described, for which a device for measuring the thermal conductivity of insulating materials was then designed and modeled, and the method of setting the balance for one node is presented. By applying the available Python program for simulating the operation of the device for measuring the thermal conductivity of insulating materials, experiments were carried out according to the established plan, after the check the results were analyzed and a conclusion was made about the dimensions of the device.

Keywords: thermal conductivity, finite element method, simulation, analysis

SADRŽAJ

Sažetak	ii
Summary (Simulation of the device for measuring the thermal conductivity of insulating materials).....	ii
1. Uvod.....	1
2. Metode mjerena toplinske vodljivosti.....	2
2.1. Stacionarne metode.....	2
2.2. Nestacionarne metode.....	5
3. Metoda konačnih elemenata	8
4. Koncipiranje naprave	11
5. Primjena MKE	13
5.1. Modeliranje uređaja za MKE	13
5.2. Primjer postavljanja uvjeta ravnoteže čvorova.....	14
6. Primjena programa	16
6.1. Plan pokusa.....	16
6.2. Analiza.....	17
7. Zaključak.....	50
Literatura	51

Popis slika

Slika 2.1 – Shematski prikaz zaštićene vruće ploče [1]	3
Slika 2.2 – Shematski prikaz mjerača protoka topoline [2]	3
Slika 2.3 – Shematski prikaz metode izravnog grijanja [2]	4
Slika 2.4 – Shematski prikaz metode cijevi [2].....	5
Slika 2.5 – Shematski prikaz metode s 2 uzorka [2]	7
Slika 3.1 - Vrste konačnih elemenata [3].....	8
Slika 3.2 – Diskreditizacija vremena i prostora [4].....	9
Slika 4.1 – Koncept naprave	11
Slika 4.2 – Primjer hladnjaka	12
Slika 5.1 – Mreža konačnih elemenata.....	13
Slika 5.2 – Primjer čvora.....	14
Slika 6.1 – Izbornik ulaznih podataka	16
Slika 6.2 – Dijagram toplinske vodljivosti.....	18
Slika 6.3 – Raspodjela temperatura.....	18
Slika 6.4 – Utjecaj promjene visine uzorka na proračunsku toplinsku vodljivost za slučaj uređaja sa promjerom primarnog grijajućeg elementa 141,5 mm i debljinom izolacije 30 mm.	20
Slika 6.5 – Utjecaj promjene debljine izolacije na proračunsku toplinsku vodljivost za slučaj uređaja sa promjerom primarnog grijajućeg elementa 141,5 mm i visinom uzorka 20 mm.	21
Slika 6.6 – Utjecaj promjene promjera primarnog grijajućeg elementa na proračunsku toplinsku vodljivost za slučaj uređaja sa debljinom izolacije 30 mm i visinom uzorka 20 mm.	22
Slika 6.7 – Utjecaj promjene promjera uzorka na proračunsku toplinsku vodljivost za slučaj uređaja sa promjerom primarnog grijajućeg elementa 141,5 mm i debljinom izolacije 30 mm.	23
Slika 6.8 - Utjecaj promjene debljine izolacije na proračunsku toplinsku vodljivost za slučaj uređaja sa promjerom primarnog grijajućeg elementa 141,5 mm i promjerom uzorka 200 mm.	24
Slika 6.9 – Utjecaj promjene promjera primarnog grijajućeg elementa na proračunsku toplinsku vodljivost za slučaj uređaja sa promjerom uzorka 200 mm i debljinom izolacije 30 mm.	25

Slika 6.10 – Utjecaj promjene promjera uzorka na proračunsku toplinsku vodljivost za slučaj uređaja sa promjerom primarnog grijajućeg elementa 141,5 mm i visine uzorka 20 mm.	26
Slika 6.11 – Utjecaj promjene visine uzorka na proračunsku toplinsku vodljivost za slučaj uređaja sa promjerom primarnog grijajućeg elementa 141,5 mm i promjera uzorka 200 mm.....	27
Slika 6.12 – Utjecaj promjene promjera primarnog grijajućeg elementa na proračunsku toplinsku vodljivost za slučaj uređaja sa promjerom primarnog grijajućeg elementa 141,5 mm i visine uzorka 20 mm.....	28
Slika 6.13 – Utjecaj promjene promjera uzorka na proračunsku toplinsku vodljivost za slučaj uređaja sa visinom uzorka 20 mm i debljinom izolacije 30 mm.....	29
Slika 6.14 - Utjecaj promjene visine uzorka na proračunsku toplinsku vodljivost za slučaj uređaja sa promjerom uzorka 200 mm i debljinom izolacije 30 mm.....	30
Slika 6.15 - Utjecaj promjene debljine izolacije na proračunsku toplinsku vodljivost za slučaj uređaja sa promjerom uzorka 200 mm i visine uzorka 20 mm.	31
Slika 6.16 – Utjecaj promjene snage primarnog grijajućeg elementa na proračunsku toplinsku vodljivost za slučaj uređaja sa promjerom primarnog grijajućeg elementa 141,5 mm i debljinom izolacije 30 mm.....	32
Slika 6.17 – Utjecaj promjene debljine izolacije na proračunsku toplinsku vodljivost za slučaj uređaja sa promjerom primarnog grijajućeg elementa 141,5 mm i snagom primarnog grijajućeg elementa 5.5 W.	33
Slika 6.18 – Utjecaj promjene promjera primarnog grijajućeg elementa na proračunsku toplinsku vodljivost za slučaj uređaja sa debljinom izolacije 30 mm i snagom primarnog grijajućeg elementa 5.5 W.	34
Slika 6.19 – Utjecaj promjene snage primarnog grijajućeg elementa na proračunsku toplinsku vodljivost za slučaj uređaja sa promjerom primarnog grijajućeg elementa 141,5 mm i visine uzorka 20 mm.	35
Slika 6.20 – Utjecaj promjene visine uzorka na proračunsku toplinsku vodljivost za slučaj uređaja sa promjerom primarnog grijajućeg elementa 141,5 mm i snagom primarnog grijajućeg elementa 5.5 W.	36
Slika 6.21 – Utjecaj promjene promjera primarnog grijajućeg elementa na proračunsku toplinsku vodljivost za slučaj uređaja sa snagom primarnog grijajućeg elementa 5.5 W i visine uzorka 20 mm.	37
Slika 6.22 – Utjecaj promjene snage primarnog grijajućeg elementa na proračunsku toplinsku vodljivost za slučaj uređaja sa visinom uzorka 20 mm i debljinom izolacije 30 mm.	38
Slika 6.23 – Utjecaj promjene visine uzorka na proračunsku toplinsku vodljivost za slučaj uređaja sa snagom primarnog grijajućeg elementa 5.5 W i debljinom izolacije 30 mm.	39
Slika 6.24 – Utjecaj promjene debljine izolacije na proračunsku toplinsku vodljivost za slučaj uređaja sa snagom primarnog grijajućeg elementa 5.5 W i visine uzorka 20 mm.	40

Slika 6.25 – Utjecaj promjene snage primarnog grijajućeg uređaja na proračunsku toplinsku vodljivost za slučaj uređaja sa promjerom primarnog grijajućeg uređaja 141,5 mm i promjerom uzorka 200 mm.	41
Slika 6.26 – Utjecaj promjene promjera uzorka na proračunsku toplinsku vodljivost za slučaj uređaja sa promjerom primarnog grijajućeg uređaja 141,5 mm i snagom primarnog grijajućeg uređaja 5,5 W.	42
Slika 6.27 – Utjecaj promjene promjera primarnog grijajućeg uređaja na proračunsku toplinsku vodljivost za slučaj uređaja sa promjerom uzorka 200 mm i snagom primarnog grijajućeg uređaja 5,5 W.	43
Slika 6.28 – Utjecaj promjene snage primarnog grijajućeg uređaja na proračunsku toplinsku vodljivost za slučaj uređaja sa promjerom uzorka 200 mm i debljinom izolacije 30 mm.	44
Slika 6.29 – Utjecaj promjene promjera uzorka na proračunsku toplinsku vodljivost za slučaj uređaja sa snagom primarnog grijajućeg uređaja 5,5 W i debljinom izolacije 30 mm.	45
Slika 6.30 – Utjecaj promjene debljine izolacije na proračunsku toplinsku vodljivost za slučaj uređaja sa snagom primarnog grijajućeg uređaja 5,5 W i promjerom uzorka 200 mm.	46
Slika 6.31 – Utjecaj promjene snage primarnog grijajućeg uređaja na proračunsku toplinsku vodljivost za slučaj uređaja sa promjerom uzorka 200 mm i visine uzorka 20 mm.	47
Slika 6.32 – Utjecaj promjene promjera uzorka na proračunsku toplinsku vodljivost za slučaj uređaja sa snagom primarnog grijajućeg uređaja 5,5 W i visine uzorka 20 mm.	48
Slika 6.33 – Utjecaj promjene visine uzorka na proračunsku toplinsku vodljivost za slučaj uređaja sa snagom primarnog grijajućeg uređaja 5,5 W i promjerom uzorka 200 mm.	49

Popis tablica

Tablica 6.1 – Plan pokusa	17
Tablica 6.2 – Rezultati pokusa	19

1. Uvod

Toplinska vodljivost je fizikalna veličina kojom se opisuje sposobnost materijala da provodi toplinu. Materijali poput bakra i srebra, koji su dobri električni vodiči, imaju i dobru toplinsku vodljivost, a materijali poput drva, gume i stiropora imaju slabu toplinsku vodljivost, te se zbog toga koriste kao izolatori. Toplinska vodljivost ima važnu ulogu u svim područjima gdje je potrebno razumjeti i kontrolirati prijenos topline.

Moguće ju je mjeriti na različite načine, od kojih su neki primarno predviđeni za izolacijske materijale, a opisani su u nastavku rada. Metode mjerjenja toplinske vodljivosti dijelimo na stacionarne i nestacionarne, a osnovna razlika je u vremenskoj promjeni temperature.

U radu je, primjenom računalnog programa koji se oslanja na metodu konačnih elemenata, simuliran rad uređaja koji se zasniva na jednoj od metoda te je iznijet zaključak u obliku glavnih konstrukcijskih veličina potrebnih za izradu uređaja za mjerjenje toplinske vodljivosti izolacijskih materijala.

2. Metode mjerena toplinske vodljivosti

Toplinska vodljivost može se mjeriti primjenom više različitih metoda, a sve metode mogu se podijeliti u dvije osnovne skupine: stacionarne metode i nestacionarne metode. Glavna razlika je u vremenu potrebnom za mjerjenje koje je znatno duže kod stacionarnih metoda zato što je potrebno dostići toplinsku ravnotežu u svim točkama.

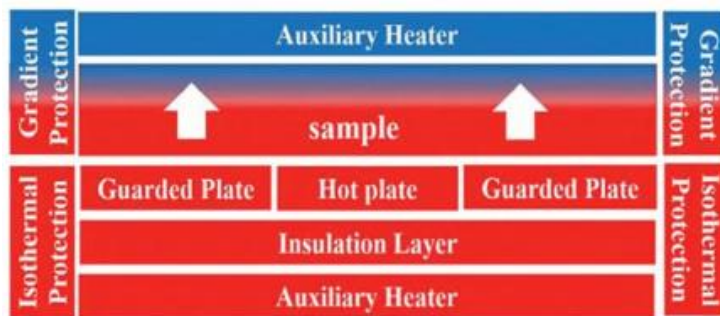
2.1. Stacionarne metode

Stacionarne metode zahtjevaju dugotrajna mjerena kako bi se postigla temperaturna ravnoteža. Temperaturna ravnoteža se postiže kada su temperature u svim dijelovima volumena tijela konstantne i ne mijenjaju se s vremenom. Toplinska vodljivost određuje se preko razlike temperature ΔT između dvije točke uzorka koje su na određenoj udaljenosti kroz koju teče stacionarni toplinski tok. Prednost stacionarnih metoda je što koriste jednostavne matematičke izraze.

2.1.1. Zaštićena vruća ploča

Zaštićena vruća ploča je najjednostavnija metoda i najčešće korištena u praksi, a uz to je i najučinkovitija. Metoda se u osnovi sastoji od vruće ploče koja je ujedno izvor topline i hladne ploče koja je toplinski ponor, obične izolacije i grijane izolacije koja služi za postizanje jednodimenzionalnog usmjerjenog toplinskog toka kroz uzorak.

Metoda može biti izvedena s jednim uzorkom ili s dva uzorka, jedan iznad drugog, odvojenih vrućom pločom. Korištenjem varijante s dva uzorka, glavna prednost je to što se postiže simetrična raspodjela toplinskog toka, te se gubitak topline može usmjeriti na drugi uzorak. Prikaz metode s jednim uzorkom vidljiv je na slici 2.1.

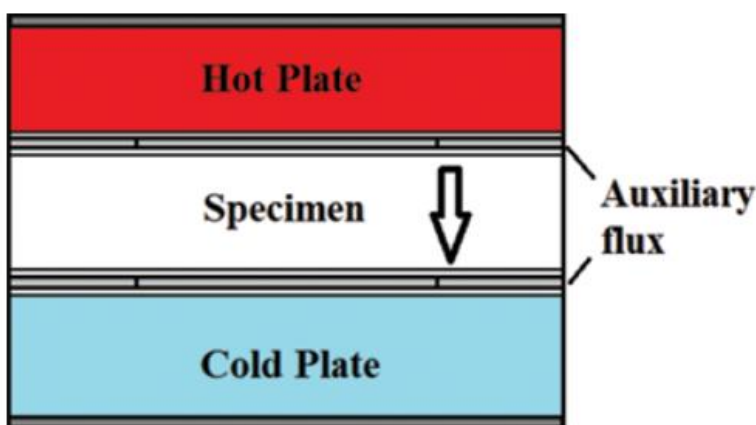


Slika 2.1 – Shematski prikaz zaštićene vruće ploče [1]

2.1.2. Mjerač protoka topline

Za metodu mjerjenja protoka topline sa slike 2.2 može se reći da je to varijanta već spomenute metode zaštićene vruće ploče. Konstrukcija uređaja slična je konstrukciji zaštićene vruće ploče s jednim uzorkom. Ono što je drugačije za ovu metodu je to što koristi senzore toplinskog toka koji preko temperaturne razlike može mjeriti gustoću toplinskog toka, te kao rezultat daje temperature uzorka i gustoću toplinskog toka.

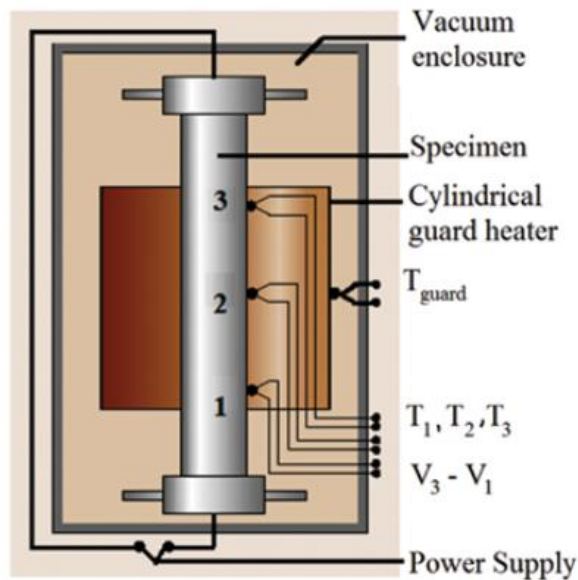
Pomoću ove metode brže se dolazi do traženih veličina jer je vrijeme potrebno za postizanje stacionarnog stanja kraće, ima veći raspon ispitivanja toplinske vodljivosti i ne zahtijeva poznavanje snage grijanja. Međutim, jako je bitna kalibracija pomoću uzorka ispitanih apsolutnom metodom, kao što je metoda zaštićene vruće ploče.



Slika 2.2 – Shematski prikaz mjerača protoka topline [2]

2.1.3. Metoda izravnog grijanja

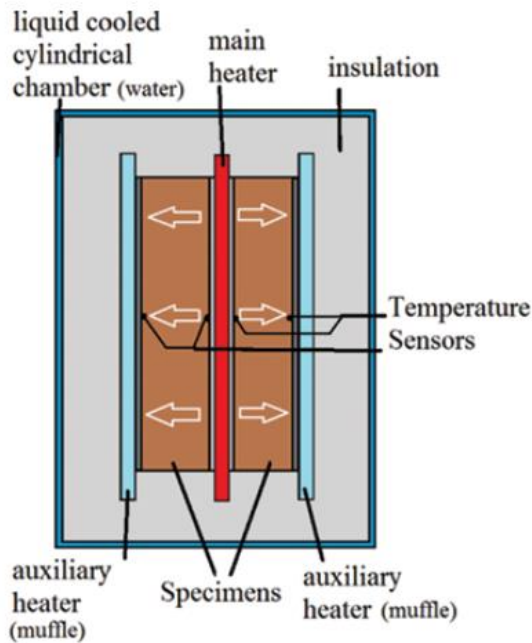
Ovom metodom ispituju se materijali koji provode električnu energiju te je vrijeme potrebno za ispitivanje nešto kraće od ostalih i ima manje radikalne gubitke topline. Uzorak je šipka, cijev ili žica koja se nalazi u vakuumskoj komori, između dva vodom hlađena hladnjaka te mu se mjeri pad napona i temperature u tri točke. Prikaz metode vidljiv je na slici 2.3.



Slika 2.3 – Shematski prikaz metode izravnog grijanja [2]

2.1.4. Metoda cijevi

Za mjerjenje toplinske vodljivosti metodom cijevi koja je prikazana na slici 2.4 koristi se sklop cjevestog uzorka, glavnog grijajućeg i pomoćnog grijajućeg. U aksijalni pravac uzorka stavlja se cilindrični grijajući, te se mjeri temperatura u unutrašnosti uzorka i na vanjskoj površini. Čitav sklop grijajućeg i uzorka obložen je izolacijom i nalazi se u hlađenoj komori. Budući da je uzorak cilindričan, zagrijava se iznutra čitavom dužinom. Ovom metodom određuje se radikalni toplinski tok iz kojeg se dobiva toplinska vodljivost.



Slika 2.4 – Shematski prikaz metode cijevi [2]

2.2. Nestacionarne metode

Glavna karakteristika nestacionarnih metoda je mijenjanje temperatura uzorka s vremenom tijekom ispitivanja. Drugim riječima, mjerjenje se vrši za vrijeme grijanja. Kod nekih nestacionarnih metoda moguće je zamijeniti mjerjenje temperature na oba kraja uzorka s mjerenjem temperature u funkciji vremena samo na jednom kraju uzorka, čime se uređaji i njihovo korištenje pojednostavnjuju. Glavna prednost ovih metoda je ta što za dobivanje rezultata nije potrebno čekati postizanje stacionarnog stanja, odnosno nepromijenjivost temperature s vremenom u svim točkama. Stoga, mjerjenje se obavlja za nekoliko minuta, pa čak i sekunda. S druge strane, nedostatak ovih metoda je povećanje pogreške u mjerenu jer je teško zadovoljiti granične uvjete, a pogreške je teže definirati zbog složenosti matematičkih izraza. Pomoću nestacionarnih metoda uz toplinsku vodljivost moguće je odrediti i druge termofizikalne veličine uzorka, što nije slučaj sa stacionarnim metodama.

2.2.1. Metoda laserskog bljeska

Laserska metoda mjerena toplinske vodljivosti je najčešće korištena metoda za krute tvari, ali se može koristiti i za tekućine te za višeslojne materijale. Kratkim laserskim bljeskom zagrijava se prednja strana uzorka, dok se na stražnjoj strani mjeri promjena temperature. Mjeranjem se dobiva toplinska difuznost, iz koje se poznavanjem specifičnog toplinskog kapaciteta i gustoće može izračunati toplinska vodljivost. Ova metoda ima širok raspon mjerena toplinske vodljivosti pri temperaturama od -100 do 3000 °C.

2.2.2. Metoda vruće žice

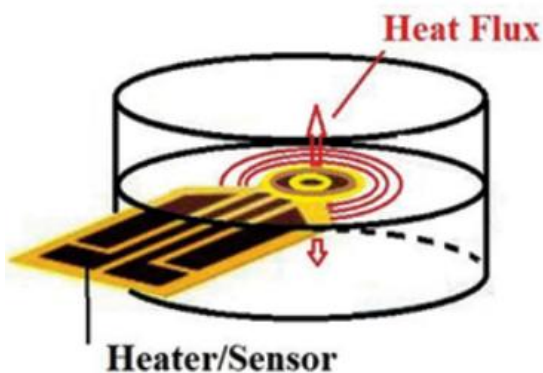
Osnovni elementi metode vruće žice dva su uzorka istog materijala i jednakih dimenzija, između kojih se postavlja žica od platine. U uzorcima se izradi utor za žicu kako bi se ostvario što bolji prijenos topline sa žice na uzorke. Žica je spojena na istosmjernu struju, te njen zagrijavanje uzrokuje i zagrijavanje uzoraka. Postoje tri različite izvedbe metode vruće žice: okomita, paralelna i metoda otpornog termometra. Osnovna razlika okomite i paralelne je u postavljanju mjerne točke (termopara) u odnosu na vruću žicu, dok je kod treće metode žica ujedno i izvor topline i temperturni senzor.

2.2.3. Metoda vrućeg diska

Ova tehnika provodi se u svrhu mjerena toplinske vodljivosti i toplinske difuznosti. Glavni element čini ravninska spirala, odnosno disk. Disk ima funkciju toplinskog senzora te zagrijavajućeg elementa. Disk je postavljen između dva identična uzorka, a struja se dovodi do diska koji se pritom zagrijava. Uloga senzora je i praćenje promjene temperature u vremenu, te se na taj način određuje toplinska vodljivost materijala. Međutim, poteškoće se mogu javiti prilikom odabira vremena trajanja testiranja, parametara zagrijavanja i odabira odgovarajuće veličine senzora s obzirom na uzorke, što može izazvati određene nejasnoće. Stoga, s ciljem standardizacije metode, razvijena je modificirana verzija metode vrućeg diska. Navedena metoda ima standardizirane parametre vremena i struje zagrijavanja, što otklanja već navedene nejasnoće i omogućava precizne rezultate. Disk je u ovom slučaju smješten na izoliranome postolju te okružen izolacijskim prstenom, čime se osigurava jednodimenzionalan toplinski tok. Iz tog razloga, omogućeno je korištenje samo jednog uzorka s jednom dodirnom površinom. Toplina se oslobađa kada se struja doveđe senzoru. Također, istovremeno se prati i porast temperature mjeranjem pada napona senzora, a pad napona senzora kalibriran je s promjenom

temperature. Toplinska vodljivost uzorka obrnuto je proporcionalna stopi povećanja praćene temperature. Što je manja toplinska vodljivost uzorka, to je strmija krivulja porasta temperature, i obrnuto. Prikaz metode nalazi se na slici 2.5.

Glavne prednosti ove metode su u dobivanju rezultata visoke točnosti u vrlo kratkom vremenskom periodu pomoću uređaja kojemu je vrlo jednostavna upotreba. Uzorci mogu biti i načinjeni od širokog raspona vrsta materijala, primjerice tekući, gelasti ili čvrsti. Također, metoda vrućeg diska najčešće zahtjeva korištenje uzoraka koji su mnogo manji u odnosu na one u drugim metodama.

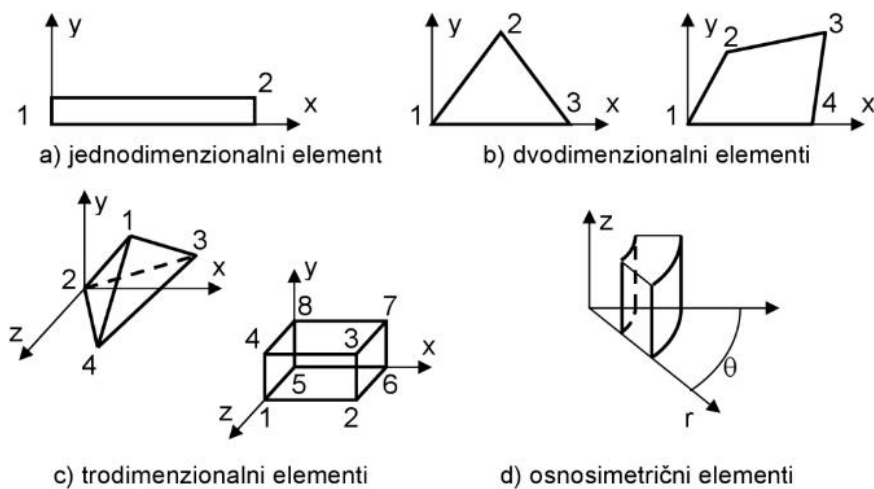


Slika 2.5 – Shematski prikaz metode s 2 uzorka [2]

3. Metoda konačnih elemenata

Metoda konačnih elemenata numerički je postupak za rješavanje problema u inženjerstvu. Najčešće se koristi kod analiziranja struktura kod kojih nije moguće dobiti rješenje u analitičkom obliku, a karakterizira ih složena geometrija, opterećenje ili upotreba više različitih materijala. U takvim se situacijama koriste numeričke metode, od kojih je u najvećem broju slučajeva korištena metoda konačnih elemenata.

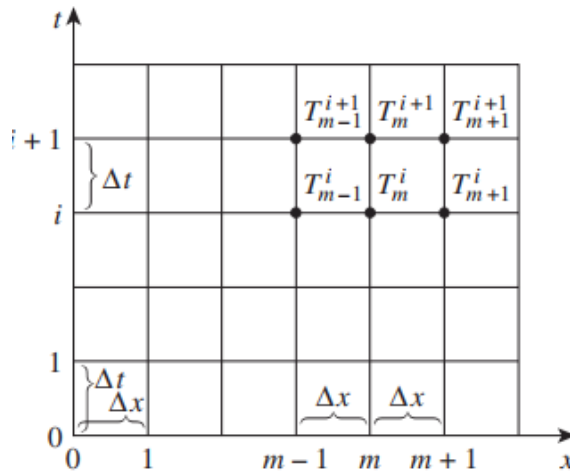
Model korišten u navedenoj metodi čine konačni elementi povezani u čvorove, a čvorovi su smješteni po graničnim zajedničkim linijama ili površinama. Za svaki od konačnih elemenata postavljene su jednadžbe, čijom se kombinacijom dobivaju jednadžbe strukture. Konačni elementi mogu biti jednodimenzionalni, dvodimenzionalni, trodimenzionalni i osnosimetrični, što je prikazano na slici 3.1.



Slika 3.1 - Vrste konačnih elemenata [3]

Glavni korak u proračunu metode konačnih elemenata jest diskretizacija područja kod koje se konstrukcija diskretizira podjelom na mrežu konačnih elemenata. U tom slučaju, kontinuirani sustav zamjenjuje se diskretnim sustavom opisanim s konačnim brojem nepoznatih varijabli. Nakon diskretizacije, postavlja se sustav jednadžbi s čvornim veličinama kao nepoznamicama, a potom se uspostavlja globalni sustav jednadžbi koji vrijedi za cijeli diskretizirani model.

Kod problema nestacionarnog toplinskog toka, temperature se mijenjaju u vremenu, stoga je uz diskretizaciju u prostoru, neophodna i diskretizacija vremena, kao što je prikazano na slici 3.2.



Slika 3.2 – Diskreditizacija vremena i prostora [4]

Diskretizacija vremena učinjena je na način da se postavi prikladni korak u vremenu (Δt). Za svaki Δt postavljaju se jednadžbe za nepoznate temperature čvorova dok se ne dobije rješenje za željeno vrijeme. Odabirom manjeg Δt povećava se preciznost rješenja, ali se isto tako povećava i vrijeme računanja. U prijelaznim problemima, eksponent i koristi se kao pokazatelj vremenskog koraka. Primjerice, $i = 0$ označava početno stanje. U slučaju da je odabrani vremenski korak 5 minuta, $i = 1$ odgovara $t = 1 \cdot \Delta t = 5$ min, $i = 2$ odgovara $t = 2 \cdot \Delta t = 10$ min, i tako dalje. Izraz T_m^i predstavlja temperaturu čvora m u vremenskom koraku i . Problemi nestacionarnog toplinskog toka sadrže izraz za promjenu energije tijekom vremena, koji je izražen u diferencijalnoj jednadžbi kao prva derivacija temperature s obzirom na vrijeme, te kao promjena u unutarnjoj energiji tijekom Δt . Prepostavljajući da se sva toplina prenosi unutar elementa, ravnoteža energije tijekom intervala Δt može biti izražena kao zbroj prenesene topline u element sa svih dodirnih površina tijekom intervala Δt i topline generirane u elementu za vrijeme Δt .

$$\Delta t \cdot \sum Q + \Delta t \cdot E_{gen} = \Delta E_{elementa} \quad (3.1)$$

Prijenos topline Q za unutarnje čvorove normalno se sastoji od kondukcije, dok za vanjske čvorove može uključivati konvekciju i zračenje.

Ako je $\Delta E_{elementa} = m \cdot C_p \cdot \Delta T = \rho \cdot V_{elementa} \cdot C_p \cdot \Delta T$, gdje je ρ gustoća, a C_p specifični toplinski kapacitet elementa, te podijelimo izraz 3.1 s Δt , dobije se:

$$\sum Q + E_{gen} = \rho \cdot V \cdot c_p \cdot \frac{\Delta T}{\Delta t}$$

Za svaki čvor m vrijedi:

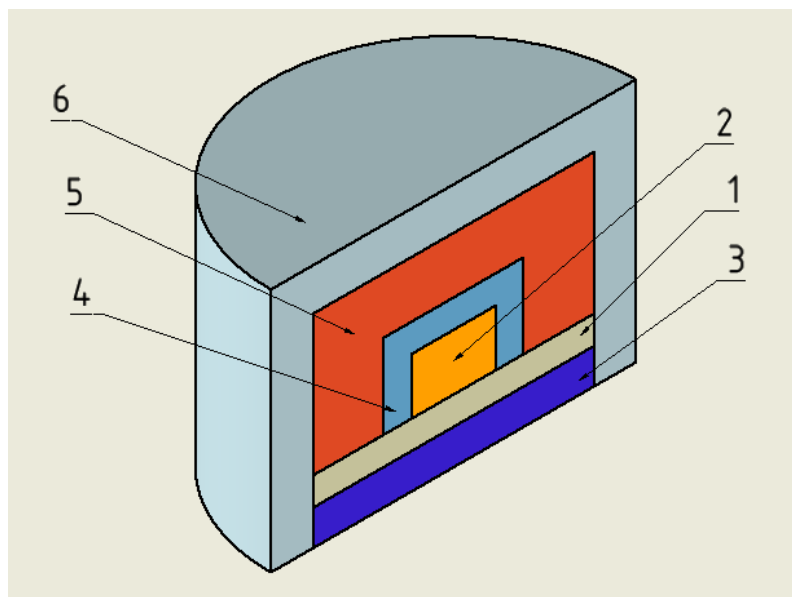
$$\sum Q + E_{gen} = \rho \cdot V \cdot c_p \cdot \frac{T_m^{i+1} - T_m^i}{\Delta t}$$

Gdje je T_m^i i T_m^{i+1} temperatura čvora u trenutku i te $i+1$.

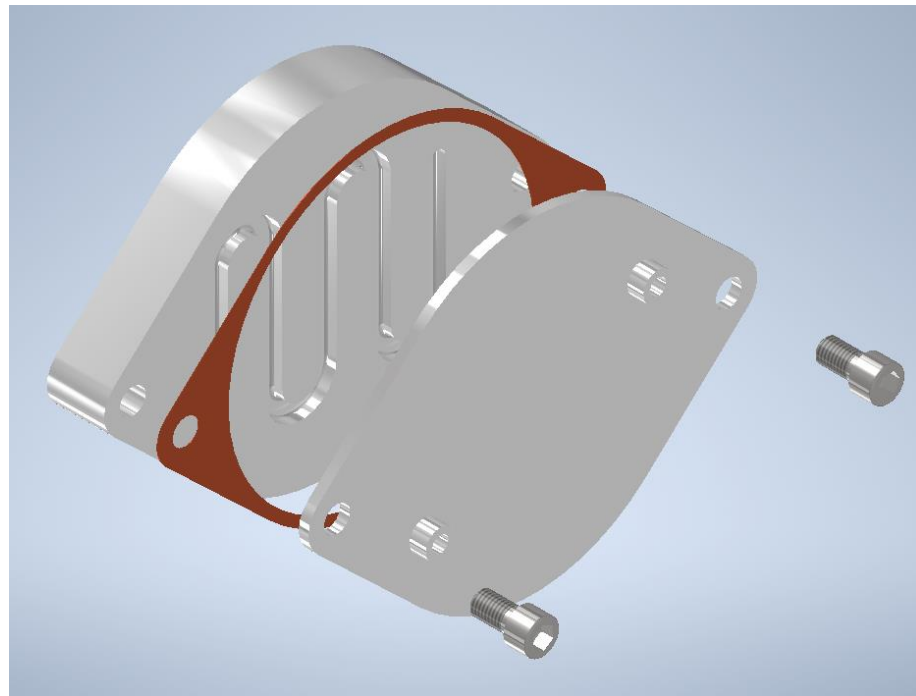
4. Koncipiranje naprave

Koncipiranje određenog uređaja odnosi se na proces planiranja i stvaranja ideja. Koncipiranje je ključan korak u razvoju i dizajnu, a služi kako bi se dobila jasnija vizija.

Naprava za mjerjenje toplinske vodljivosti trebala bi biti izrađena od kombinacije materijala koji su dobri toplinski vodiči i materijala koji su dobri toplinski izolatori. Uzorak (1) smješten je između izvora topline i toplinskog ponora. Izvor topline je sklop primarnog grijajućeg elementa (2) koji je sastavljen od kućišta materijala visoke toplinske vodljivosti i pločastog električnog grijajućeg elementa. Ponor topline, odnosno hladnjak (3), je cilindrična ploča iz materijala velike toplinske vodljivosti, hlađena vodom, čija je uloga održavanje konstantne temperature donjem čelu uzorka. U ovom slučaju hladnjak je zamišljen kao ploča s kanalima kroz koje cirkulira voda za hlađenje, a primjer hladnjaka vidljiv je na slici 4.2. Primarni grijajući element okružen je sekundarnim grijajućem (4), čija je uloga usmjeriti cjelokupni toplinski tok primarnog grijajućeg elementa prema uzorku. Sekundarni grijajući element se uključuje i isključuje ovisno o potrebi, a to upravljanje može se izvesti primjenom Peltierova modula. Primarni i sekundarni grijajući elementi odvojeni su slojem toplinske izolacije (5), a svi do sada spomenuti elementi su toplinski izolirani vanjskom izolacijom (6). Koncept naprave prikazan je na slici 4.1.



Slika 4.1 – Koncept naprave



Slika 4.2 – Primjer hladnjaka

Primarni grijач kako je ranije spomenuto može biti sastavljen od bakrenih valjčića između kojih je pločasti grijач, dok je sekundarni grijач moguće izvesti pomoću uložnih cjevastih grijaća koji se nalaze u masivnom bakrenom kućištu.

Ovakva izvedba naprave je jednostavna i za izradu i za korištenje te je potrebno poznavati snagu grijaća i mjeriti temperaturu na toploj i hladnoj površini uzorka, a toplinska vodljivost se dobiva primjenom izraza 4.1.

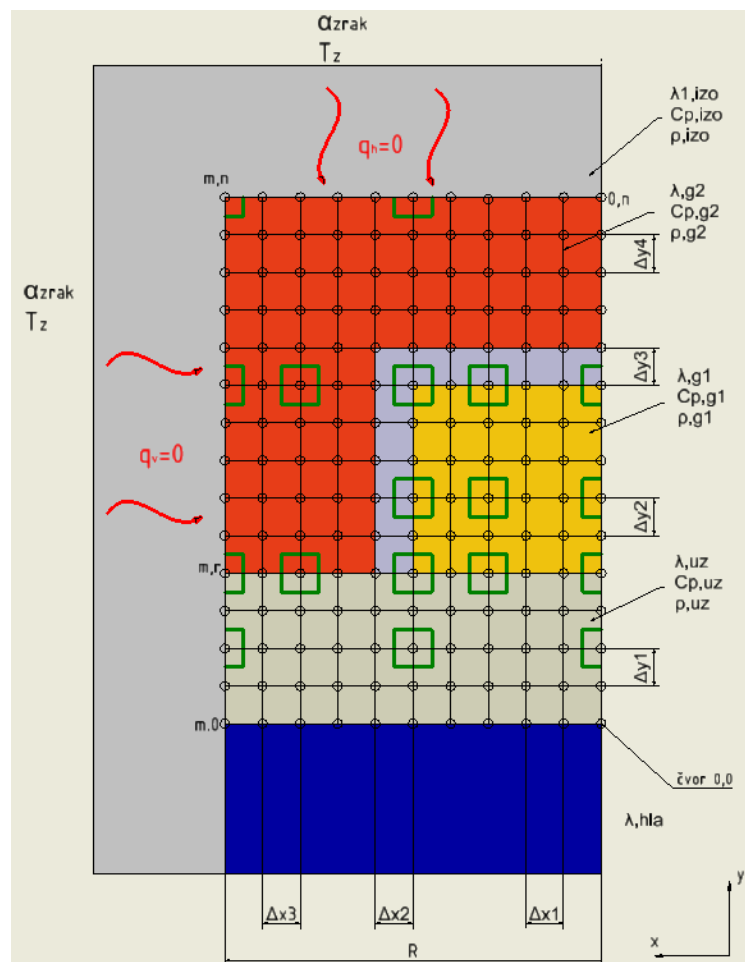
$$\lambda = \frac{Q \cdot d}{A \cdot \Delta T} \quad (4.1)$$

U izrazu 4.1 λ je toplinska vodljivost uzorka, Q je toplinski tok, d je visina uzorka, A je grijana površina i ΔT je razlika temperature tople i hladne strane.

5. Primjena MKE

5.1. Modeliranje uređaja za MKE

Koncipiranu napravu sa slike 3.1 potrebno je modelirati primjenom metode konačnih elemenata. To se vrši diskretizacijom, odnosno podjelom naprave na mrežu konačnih elemenata. Budući da je koncipirana naprava valjkastog oblika, to jest simetrična, mrežu konačnih elemenata je dovoljno postaviti na polovinu uzdužnog presjeka. Mrežu konačnih elemenata prikazana je na slici 5.1.

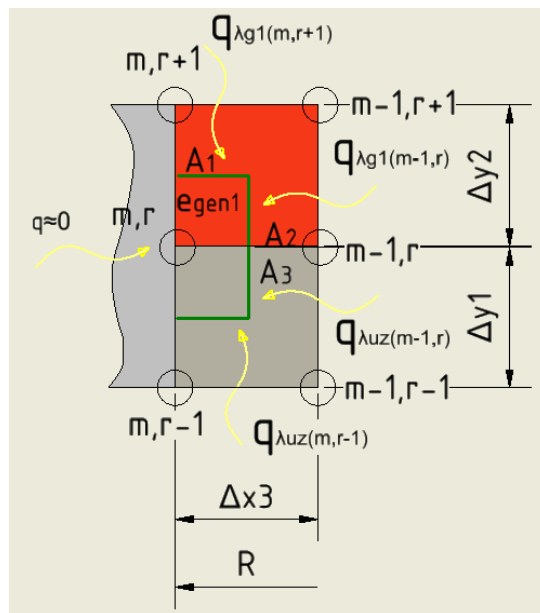


Slika 5.1 – Mreža konačnih elemenata

Na slici 5.1 je vidljiva mreža koju čine konačni elementi, a njihove dodirne točke su čvorovi koji su označeni kružićem. Zelenim kvadratičem označeni su volumeni čvorova za koje je potrebno izvesti uvjet ravnoteže energije. Različite boje označavaju različite materijale te su za svaki materijal dana njegova svojstva toplinske vodljivosti (λ), toplinskog kapaciteta (C_p) i gustoće (ρ).

5.2. Primjer postavljanja uvjeta ravnoteže čvorova

Primjer postavljanje uvjeta ravnoteže čvorova prikazan je na jednom čvoru prikazanom na slici 5.2.



Slika 5.2 – Primjer čvora

U središnjem dijelu slike 5.2 prikazan je čvor čija je koordinata (m, r) za koji će se u nastavku postaviti uvjeti ravnoteže. Zelene linije predstavljaju granice konačnog elementa promatranog čvora, a žute valovite strelice prirast energije uslijed toplinskog toka od svakog pojedinog susjednog čvora.

Prvi korak u postavljanju uvjeta ravnoteže je određivanje površina koje su oblika plašta valjka i kružnog vijenca, a zatim i volumena prstenastog oblika pravokutnog poprečnog presjeka.

$$A_1 = R^2 \cdot \pi - \left(R - \frac{\Delta x_3}{2} \right)^2 \cdot \pi$$

$$A_2 = 2 \cdot \left(R - \frac{\Delta x_3}{2} \right) \cdot \pi \cdot \frac{\Delta y_2}{2}$$

$$A_3 = 2 \cdot \left(R - \frac{\Delta x_3}{2} \right) \cdot \pi \cdot \frac{\Delta y_1}{2}$$

$$V_{g1} = A_1 \cdot \frac{\Delta y_2}{2}$$

Iz volumena elementa grijajuća V_{g1} može se dobiti generirana energija u njemu koja pridonosi povećanju topline.

$$E_{gen} = e_{gen} \cdot V_{g1}$$

Nadalje možemo postaviti jednadžbu ravnoteže za ovaj čvor:

$$\begin{aligned} Q_{\lambda g1(m,r+1)} + Q_{\lambda g1(m-1,r)} + Q_{\lambda uz(m-1,r)} + Q_{\lambda uz(m,r-1)} + E_{gen} = \\ (\rho_{g1} \cdot V_{g1} \cdot C_{p,g1} + \rho_{uz} \cdot V_{uz} \cdot C_{p,uz}) \cdot \frac{(T_{m,r}^{i+1} - T_{m,r}^i)}{\Delta t} \end{aligned} \quad (4.2)$$

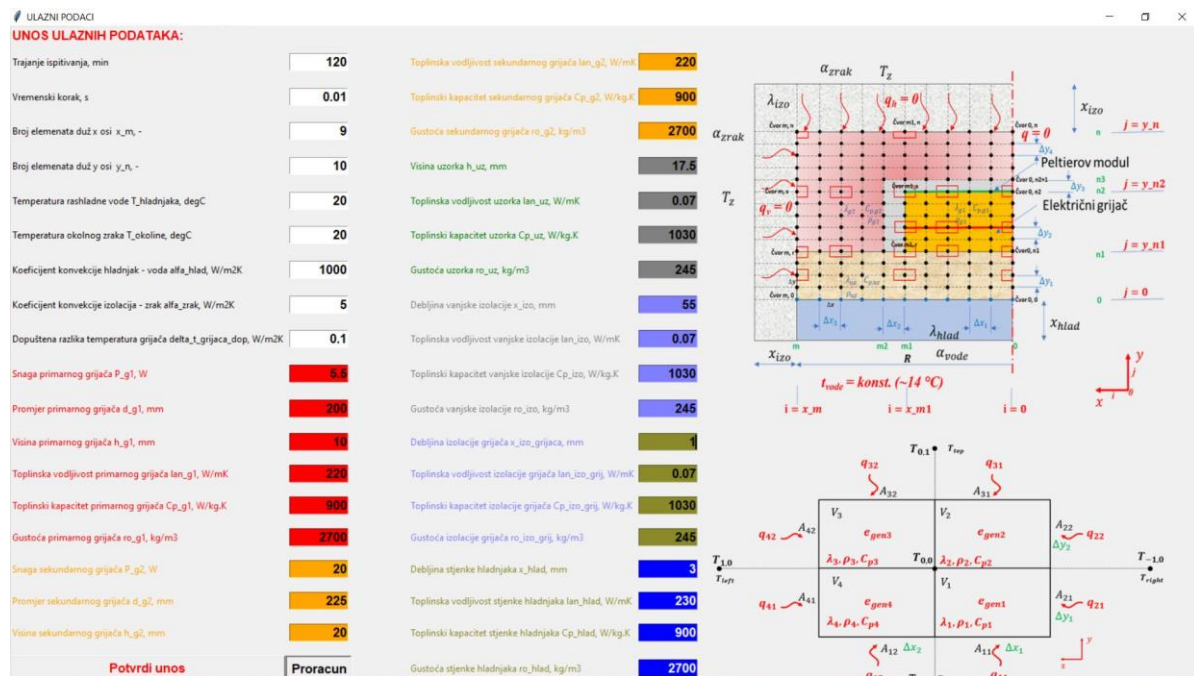
gdje su Q_λ prirasti topline od pojedinih susjednih čvorova, a E_{gen} toplina generirana u čvoru od grijajuća 1. Temperature $T_{m,r}^{i+1}$ i $T_{m,r}^i$ su temperature u prethodnom i sljedećem trenutku, a Δt vremenski korak.

Sređivanjem jednadžbe 4.2 dobije se izraz za temperaturu čvora u idućem trenutku:

$$\begin{aligned} T_{m,r}^{i+1} = T_{m,r}^i + \frac{\Delta t}{\rho_{g1} V_{g1} C_{p,g1} + \rho_{uz} V_{uz} C_{p,uz}} \left[\lambda_{g1} \frac{T_{m,r+1}^i - T_{m,r}^i}{\Delta y_2} A_1 + \lambda_{g1} \frac{T_{m-1,r}^i - T_{m,r}^i}{\Delta x_3} A_2 + \lambda_{uz} \frac{T_{m-1,r}^i - T_{m,r}^i}{\Delta x_3} A_3 \right. \\ \left. + \lambda_{g1} \frac{T_{m,r-1}^i - T_{m,r}^i}{\Delta y_1} A_1 + e_{gen} V_1 \right] \end{aligned}$$

6. Primjena programa

Prvobitnom primjenom raspoloživog programa i variranjem različitih ulaznih podataka te promatranjem rezultata, odabiru se sljedeće veličine kao glavne konstrukcijske veličine: snaga primarnog grijajuća, promjer uzorka, visina uzorka, debljina vanjske izolacije te promjer primarnog grijajuća. Veličina bitna za konstrukciju je također i širina unutarnje izolacije koja se usvaja da je jednaka 3 mm. Izbornik za unos podataka u program za simulaciju naprave prikazan je na slici 6.1.



Slika 6.1 – Izbornik ulaznih podataka

6.1. Plan pokusa

Na osnovu veličina koje su prethodno odabrane kao glavne konstrukcijske veličine izrađen je plan pokusa. Svrha izrade plana pokusa je dobivanje najboljih kombinacija ranije spomenutih veličina.

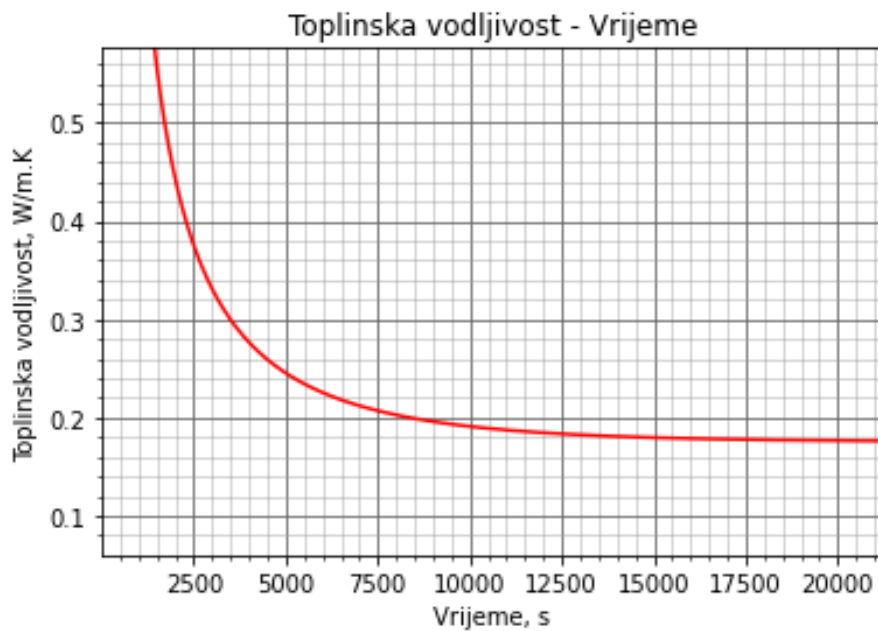
Plan pokusa je izrađen pomoću programa Design Expert, a služi za planiranje i analizu pokusa. Plan pokusa prikazan je u tablici 6.1.

Tablica 6.1 – Plan pokusa

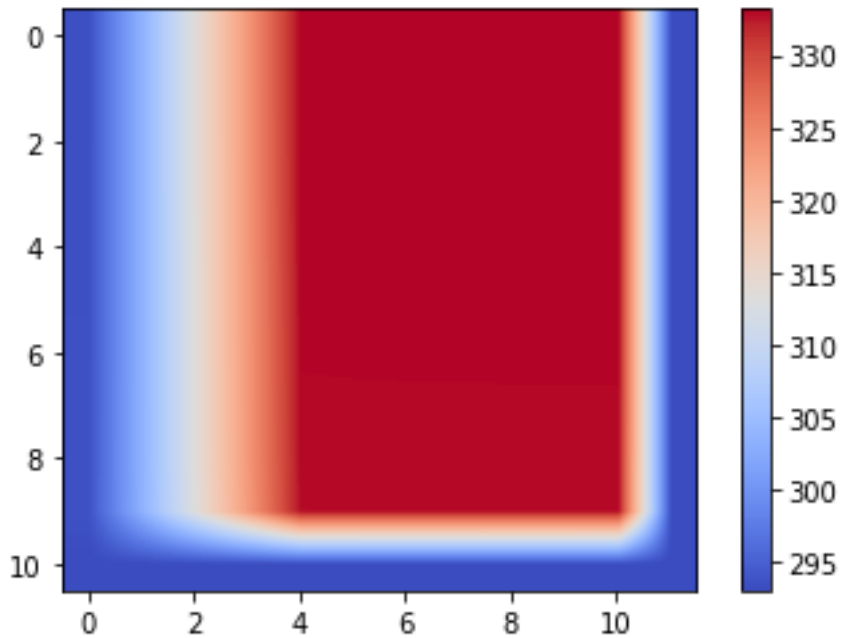
	Std	Run	Factor 1 A:P_g1 W	Factor 2 B:d_uz = d_g2 mm	Factor 3 C:h_uz mm	Factor 4 D:x_izo mm	Factor 5 E:d_g1 mm
	11	1	1	300	10	50	250
	42	2	5,5	200	20	30	67
	31	3	1	300	30	50	100
	39	4	5,5	200	20	10	95
	8	5	10	300	30	10	250
	27	6	1	300	10	50	100
	18	7	10	100	10	10	33
	34	8	10	200	20	30	95
	20	9	10	300	10	10	100
	5	10	1	100	30	10	83
	33	11	1	200	20	30	95
	21	12	1	100	30	10	33
	37	13	5,5	200	10	30	95
	43	14	5,5	200	20	30	95
	32	15	10	300	30	50	100
	26	16	10	100	10	50	33
	13	17	1	100	30	50	83
	10	18	10	100	10	50	83
	2	19	10	100	10	10	83
	40	20	5,5	200	20	50	95
	35	21	5,5	100	20	30	48
	9	22	1	100	10	50	83
	41	23	5,5	200	20	30	167
	38	24	5,5	200	30	30	95
	17	25	1	100	10	10	33
	36	26	5,5	300	20	30	143
	12	27	10	300	10	50	250
	29	28	1	100	30	50	33
	22	29	10	100	30	10	33
	1	30	1	100	10	10	83
	6	31	10	100	30	10	83
	3	32	1	300	10	10	250
	7	33	1	300	30	10	250
	28	34	10	300	10	50	100
	25	35	1	100	10	50	33
	15	36	1	300	30	50	250
	4	37	10	300	10	10	250
	19	38	1	300	10	10	100
	30	39	10	100	30	50	33
	16	40	10	300	30	50	250
	23	41	1	300	30	10	100
	14	42	10	100	30	50	83
	24	43	10	300	30	10	100

6.2. Analiza

Primjenom raspoloživog Python programa provedena je analiza primjenom metode konačnih elemenata za sve prethodno definirane pokuse. Nakon provedenih pokusa rezultati pokusa su prikazani tablično i dijagramima te zasebno analizirani. Trajanje pokusa u programu je namješteno na 20 sati. Nakon provedbe jednog pokusa program daje rezultate u obliku Excel dokumenta i slike dijagrama toplinske vodljivosti prikazanoj na slici 6.2 te raspodjele temperature prikazane na slici 6.3.



Slika 6.2 – Dijagram toplinske vodljivosti



Slika 6.3 – Raspodjela temperatura

Nakon provedena sva četrdeset i tri pokusa koja su prikazana u tablici 6.1 dobiveni su rezultati prikazani u tablici 6.2.

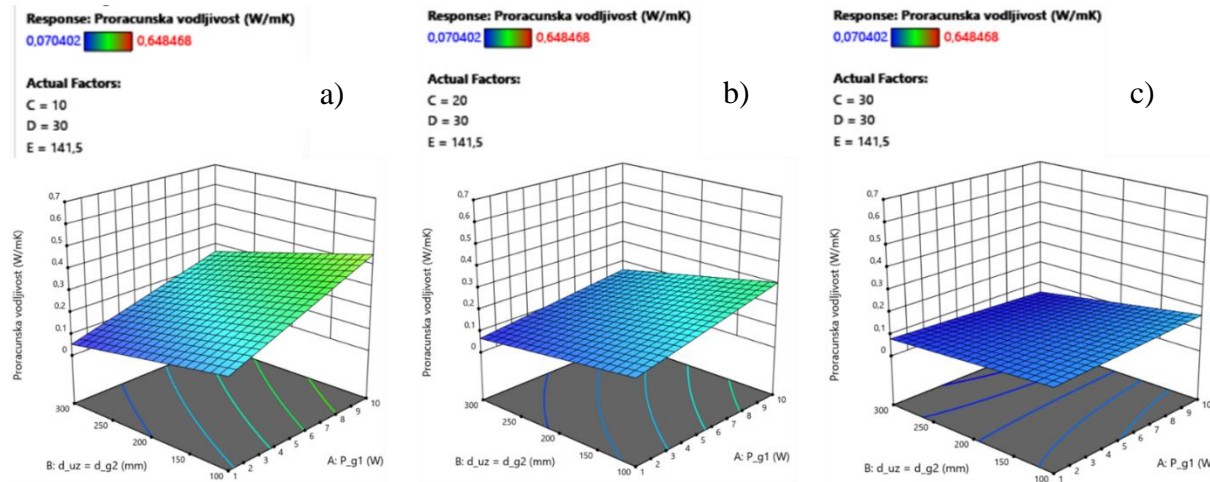
Tablica 6.2 – Rezultati pokusa

	Std	Run	Factor 1 A:P_g1 W	Factor 2 B:d_uz = d_g2 mm	Factor 3 C:h_uz mm	Factor 4 D:x_izo mm	Factor 5 E:d_g1 mm	Response 1 Proracunsko vod... W/mK
	11	1	1	300	10	50	250	0,074142
	42	2	5,5	200	20	30	67	0,089063
	31	3	1	300	30	50	100	0,071295
	39	4	5,5	200	20	10	95	0,144053
	8	5	10	300	30	10	250	0,071309
	27	6	1	300	10	50	100	0,074078
	18	7	10	100	10	10	33	0,294768
	34	8	10	200	20	30	95	0,165898
	20	9	10	300	10	10	100	0,215839
	5	10	1	100	30	10	83	0,075284
	33	11	1	200	20	30	95	0,074373
	21	12	1	100	30	10	33	0,071462
	37	13	5,5	200	10	30	95	0,208363
	43	14	5,5	200	20	30	95	0,114038
	32	15	10	300	30	50	100	0,071238
	26	16	10	100	10	50	33	0,24725
	13	17	1	100	30	50	83	0,086768
	10	18	10	100	10	50	83	0,648468
	2	19	10	100	10	10	83	0,464607
	40	20	5,5	200	20	50	95	0,103872
	35	21	5,5	100	20	30	48	0,144094
	9	22	1	100	10	50	83	0,083222
	41	23	5,5	200	20	30	167	0,145397
	38	24	5,5	200	30	30	95	0,070402
	17	25	1	100	10	10	33	0,083199
	36	26	5,5	300	20	30	143	0,105573
	12	27	10	300	10	50	250	0,074078
	29	28	1	100	30	50	33	0,078674
	22	29	10	100	30	10	33	0,071556
	1	30	1	100	10	10	83	0,120296
	6	31	10	100	30	10	83	0,071481
	3	32	1	300	10	10	250	0,082821
	7	33	1	300	30	10	250	0,071225
	28	34	10	300	10	50	100	0,421029
	25	35	1	100	10	50	33	0,085236
	15	36	1	300	30	50	250	0,072305
	4	37	10	300	10	10	250	0,299334
	19	38	1	300	10	10	100	0,07427
	30	39	10	100	30	50	33	0,131392
	16	40	10	300	30	50	250	0,091934
	23	41	1	300	30	10	100	0,071777
	14	42	10	100	30	50	83	0,087203
	24	43	10	300	30	10	100	0,071792

Uzorak korišten u simulaciji ima toplinsku vodljivost $\lambda = 0.007 \text{ W/mK}$, a iz tablice 6.2 se primjećuje više pokusa koji daju proračunsku vodljivost s greškom manjom od 0.005 W/mK .

U nastavku su prikazani dijagrami koji su dobiveni pomoću programa Design Expert, a prikazuju utjecaj svih veličina izabranih kao glavne konstrukcijske mjere.

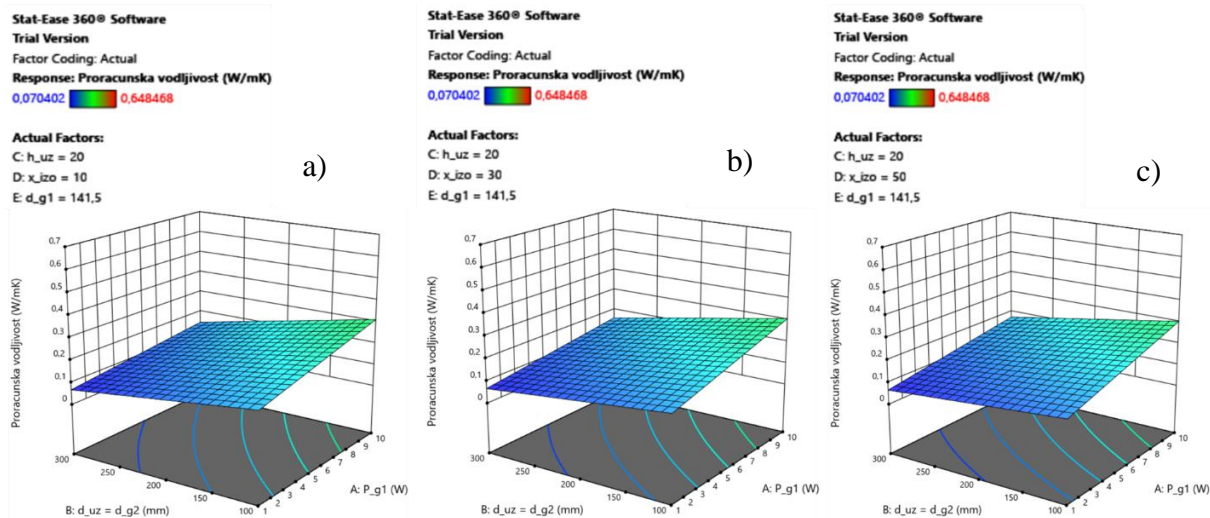
Na slici 6.4 prikazani su dijagrami s osima promjer uzorka (B: $d_{uz} = d_{g2}$) i snaga primarnog grijajuća (A: P_{g1}). Mijenjana je vrijednost visine uzorka (C: h_{uz}) i to za vrijednosti $h_{uz} = 10$ mm (dijagram a), $h_{uz} = 20$ mm (dijagram b) i $h_{uz} = 30$ mm (dijagram c).



Slika 6.4 – Utjecaj promjene visine uzorka na proračunsku toplinsku vodljivost za slučaj uređaja sa promjerom primarnog grijajuća 141,5 mm i debljinu izolacije 30 mm.

Povećanjem visine uzorka smanjuje se utjecaj snage primarnog grijajuća i promjera uzorka na dobiveni rezultat proračunske toplinske vodljivosti. Također, uočava se da se za slučaj manjih visina uzorka ($h_{uz} = 10$ mm) smanjenjem promjera uzorka d_{g2} i povećanjem snage primarnog grijajuća P_{g1} smanjuje preciznost proračuna toplinske vodljivosti. Za manje visine uzorka h_{uz} snaga primarnog grijajuća P_{g1} bi trebala biti manja, a promjer uzorka d_{g2} veći. Najprecizniji rezultati se dobivaju za visinu uzorka $h_{uz} = 30$ mm i promjer uzorka $d_{g2} = 300$ mm sa zanemarivim utjecajem snage grijajuća P_{g1} .

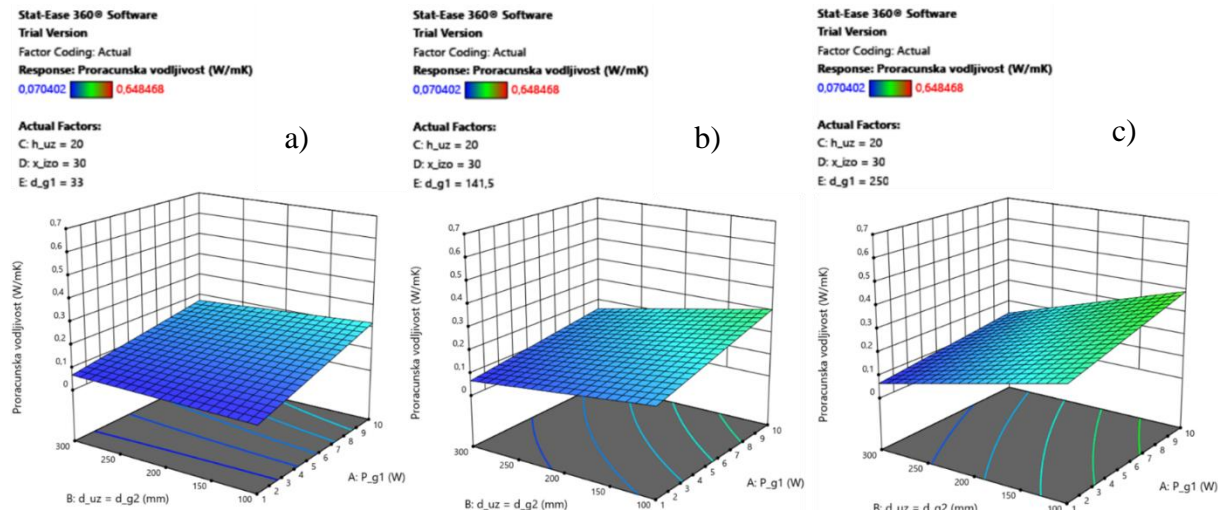
Na slici 6.5 prikazani su dijagrami s osima promjer uzorka (B: $d_{uz} = d_{g2}$) i snaga primarnog grijajuća (A: P_{g1}). Mijenjana je vrijednost debljine izolacije (D: x_{izo}) i to za vrijednosti $x_{izo}=10$ mm (dijagram a), $x_{izo}=30$ mm (dijagram b) i $x_{izo}=50$ mm (dijagram c).



Slika 6.5 – Utjecaj promjene debljine izolacije na proračunsku toplinsku vodljivost za slučaj uređaja sa promjerom primarnog grijajuća 141,5 mm i visine uzorka 20 mm.

Povećavanjem debljine izolacije x_{izo} do vrijednosti $x_{izo} = 50$ mm nema nikakvog utjecaja na proračunsku toplinsku vodljivost. Najprecizniji rezultati se dobivaju za snagu primarnog grijajuća $P_{g1} = 1$ W i promjer uzorka $d_{uz} = d_{g2} = 300$ mm.

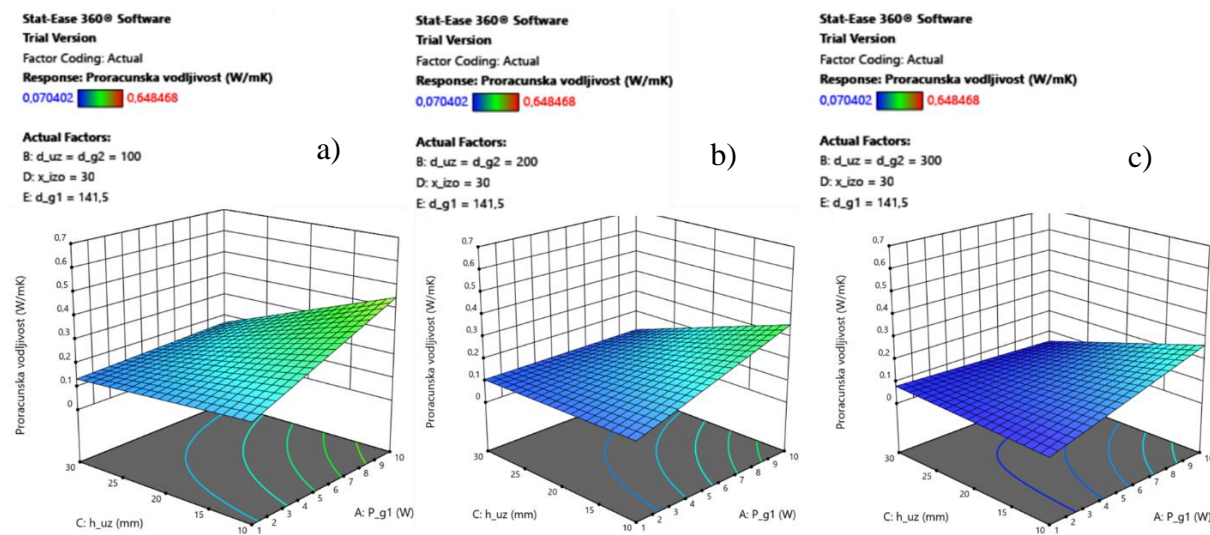
Na slici 6.6 prikazani su dijagrami s osima promjer uzorka (B: $d_{uz} = d_{g2}$) i snaga primarnog grijajuća (A: P_{g1}). Mijenjana je vrijednost promjera primarnog grijajuća (E: d_{g1}) i to za vrijednosti $d_{g1} = 33$ mm (dijagram a), $d_{g1} = 145.5$ mm (dijagram b) i $d_{g1} = 250$ mm (dijagram c).



Slika 6.6 – Utjecaj promjene promjera primarnog grijajuća na proračunsku toplinsku vodljivost za slučaj uređaja sa debljinom izolacije 30 mm i visine uzorka 20 mm.

Povećavanjem promjera primarnog grijajuća negativno se povećava utjecaj promjera uzorka na proračunsku toplinsku vodljivost. Za manje promjere primarnog grijajuća ($d_{g1} = 33$ mm), srednje ($d_{g1} = 141.5$ mm) i veće ($d_{g1} = 250$) povećavanjem snage primarnog grijajuća P_{g1} smanjuje se preciznost proračunske toplinske vodljivosti. Najprecizniji rezultati se dobivaju za promjer uzorka $d_{uz} = 300$ mm i snagu primarnog grijajuća $P_{g1} = 1$ W za sve tri vrijednosti promjera primarnog grijajuća d_{g1} .

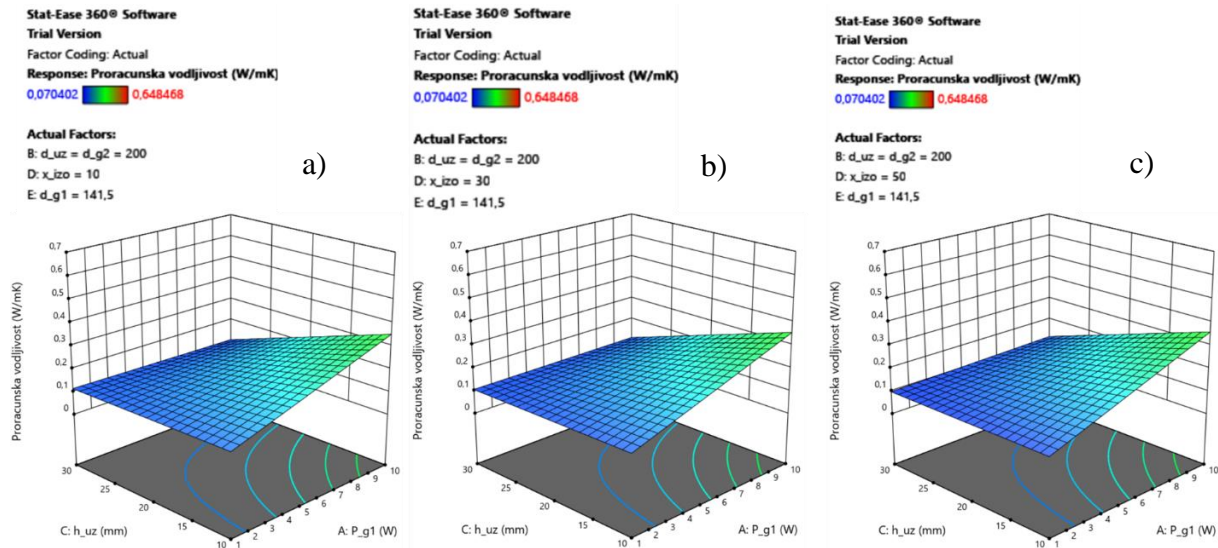
Na slici 6.7 prikazani su dijagrami s osima visina uzorka (C: h_{uz}) i snaga primarnog grijajuća (A: P_{g1}). Mijenjana je vrijednost promjera uzorka (B: $d_{uz} = d_{g2}$) i to za vrijednosti $d_{uz} = d_{g2} = 100$ mm (dijagram a), $d_{uz} = d_{g2} = 200$ mm (dijagram b) i $d_{uz} = d_{g2} = 300$ mm (dijagram c).



Slika 6.7 – Utjecaj promjene promjera uzorka na proračunsku toplinsku vodljivost za slučaj uređaja sa promjerom primarnog grijajuća 141,5 mm i debljine izolacije 30 mm.

Povećavanjem promjera uzorka $d_{uz} = d_{g2}$ smanjuje se utjecaj visine uzorka i snage primarnog grijajuća na proračunsku toplinsku vodljivost. Za sva tri slučaja povećanjem snage primarnog grijajuća P_{g1} i smanjenjem visine uzorka h_{uz} smanjuje se preciznost proračunske toplinske vodljivosti, što je najizraženije za slučaj manjih promjera uzorka ($d_{uz} = d_{g2} = 100$ mm). Najprecizniji rezultati se dobivaju za promjer uzorka $d_{uz} = 300$ mm, snagu grijajuća $P_{g1} = 1$ W i visinu uzorka $h_{uz} = 30$ mm.

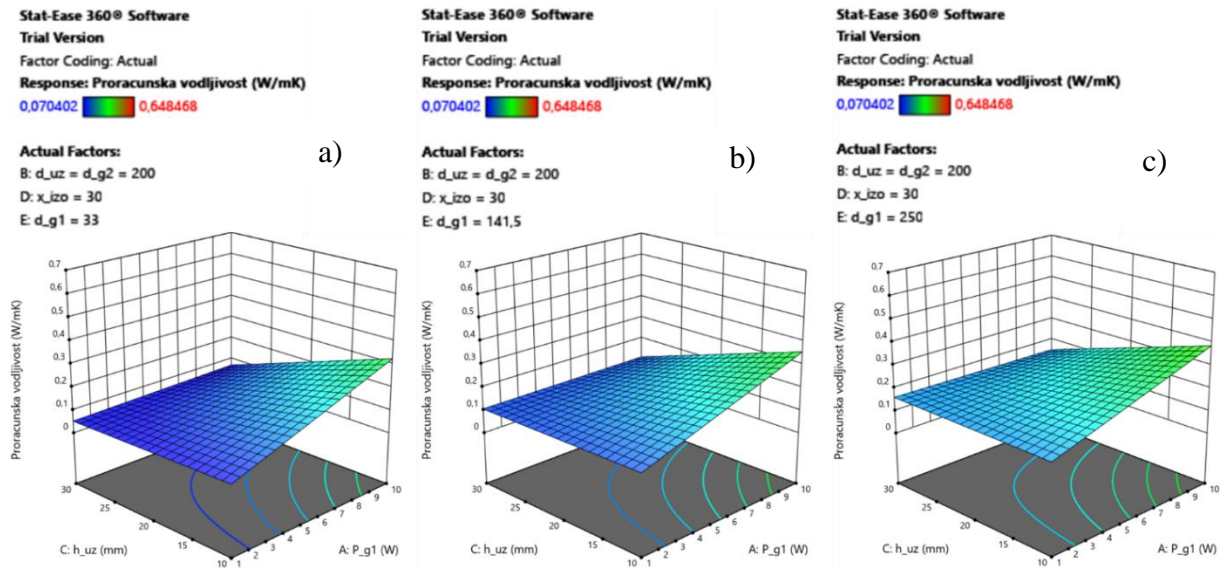
Na slici 6.8 prikazani su dijagrami s osima visina uzorka (C: h_{uz}) i snaga primarnog grijajuća (A: P_{g1}). Mijenjana je vrijednost debljine izolacije (D: x_{izo}) i to za vrijednosti $x_{izo} = 10$ mm (dijagram a), $x_{izo} = 30$ mm (dijagram b) i $x_{izo} = 50$ mm (dijagram c).



Slika 6.8 - Utjecaj promjene debljine izolacije na proračunsku toplinsku vodljivost za slučaj uređaja sa promjerom primarnog grijajuća 141,5 mm i promjerom uzorka 200 mm.

Povećanjem debljine izolacije x_{izo} ne mijenja se utjecaj visine uzorka h_{uz} i snage primarnog grijajuća P_{g1} . Najprecizniji rezultat proračunske toplinske vodljivosti za slučaj uređaja sa promjerom primarnog grijajuća $d_{g1} = 141,5$ mm i promjerom uzorka $d_{uz} = d_{g2} = 200$ mm dobije se za visinu uzorka $h_{uz} = 30$ mm i snagu primarnog grijajuća $P_{g1} = 1$ W za sva tri prikazane debljine izolacije.

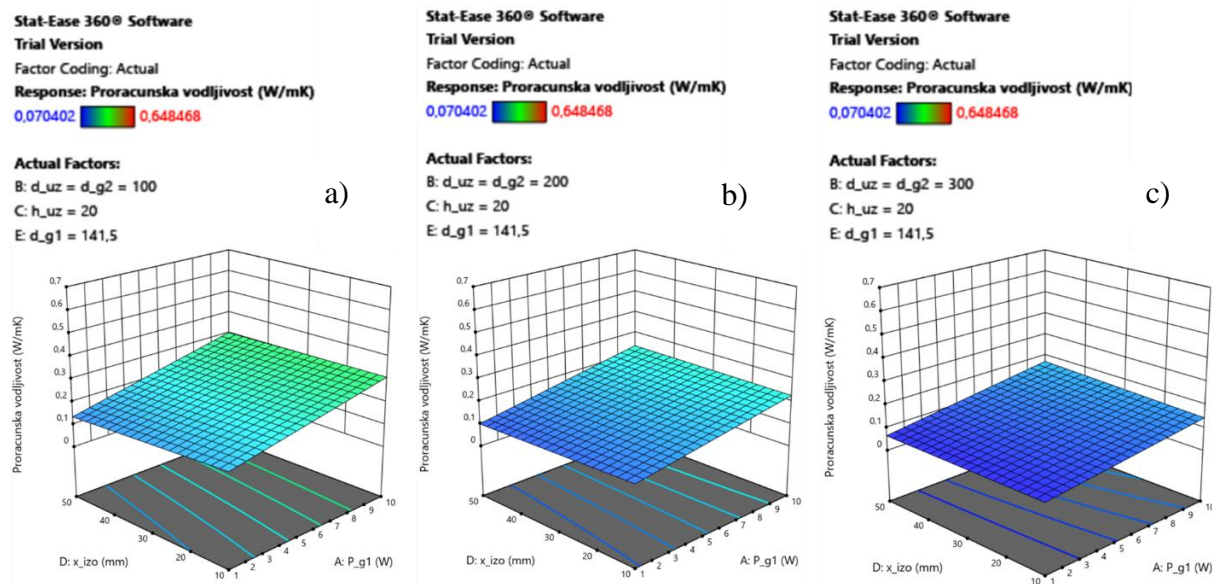
Na slici 6.9 prikazani su dijagrami s osima visina uzorka (C: h_{uz}) i snaga primarnog grijajuća (A: P_{g1}). Mijenjana je vrijednost promjera primarnog grijajuća (E: d_{g1}) i to za vrijednosti $d_{g1} = 33$ mm (dijagram a), $d_{g1} = 141.5$ mm (dijagram b) i $d_{g1} = 250$ mm (dijagram c).



Slika 6.9 – Utjecaj promjene promjera primarnog grijajuća na proračunsku toplinsku vodljivost za slučaj uređaja sa promjerom uzorka 200 mm i debljine izolacije 30 mm.

Povećanjem promjera primarnog grijajuća d_{g1} primjećuje se da se površina dijagrama paralelno podiže prema gore udaljavajući se od stvarne vrijednosti toplinske vodljivosti. Primjećuje se da se povećanjem snage primarnog grijajuća P_{g1} za sva tri slučaja, negativno utječe na proračunsku toplinsku vodljivost za manje visine uzorka h_{uz} . Najprecizniji rezultati dobivaju se za promjer primarnog grijajuća $d_{g1} = 33$ mm kad je visina uzorka $h_{uz} = 30$ mm i snaga grijajuća $P_{g1} = 10$ W.

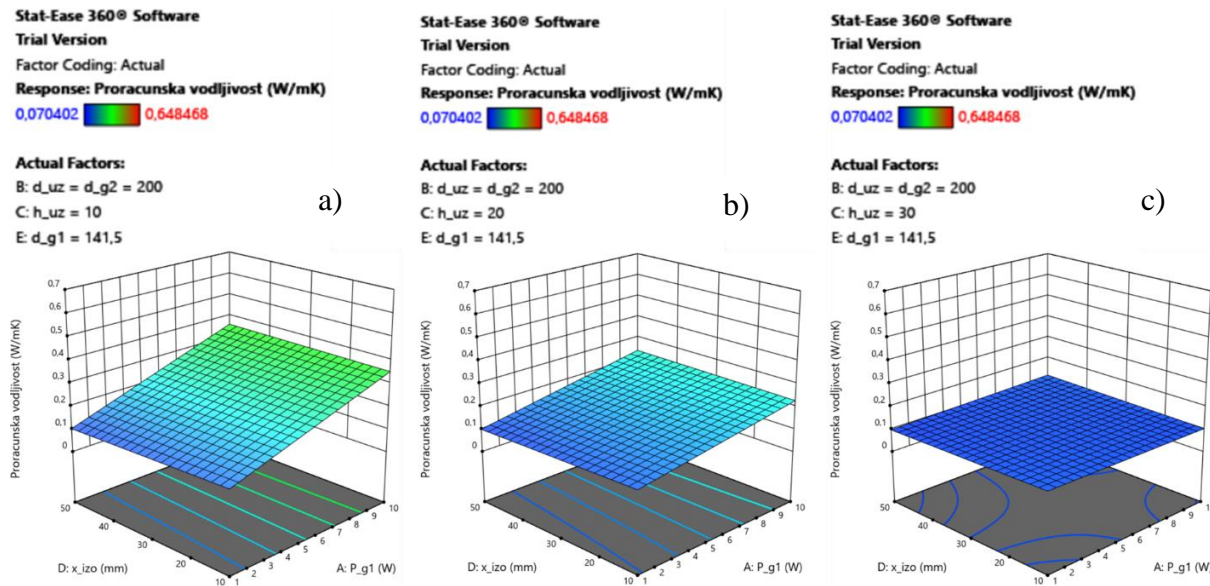
Na slici 6.10 prikazani su dijagrami s osima debljina izolacije (D: x_{izo}) i snaga primarnog grijajuća (A: P_{g1}). Mijenjana je vrijednost promjera uzorka (B: $d_{uz} = d_{g2}$) i to za vrijednosti $d_{uz} = d_{g2} = 100$ mm (dijagram a), $d_{uz} = d_{g2} = 200$ mm (dijagram b) i $d_{uz} = d_{g2} = 300$ mm (dijagram c).



Slika 6.10 – Utjecaj promjene promjera uzorka na proračunsku toplinsku vodljivost za slučaj uređaja sa promjerom primarnog grijajuća 141,5 mm i visine uzorka 20 mm.

Povećanjem promjera uzorka $d_{uz} = d_{g2}$ smanjuje se utjecaj snage primarnog grijajuća P_{g1} i debljine izolacije x_{izo} na dobiveni rezultat proračunske vodljivosti. Primjećuje se da se za veće vrijednosti promjera uzorka ($d_{uz} = d_{g2} = 300$ mm) dobivaju precizniji rezultati nego za manje ($d_{uz} = d_{g2} = 100$ mm). Najprecizniji rezultati se dobivaju za promjer uzorka $d_{uz} = d_{g2} = 300$ mm i manje snage primarnog grijajuća P_{g1} sa zanemarivim utjecajem debljine izolacije x_{izo} .

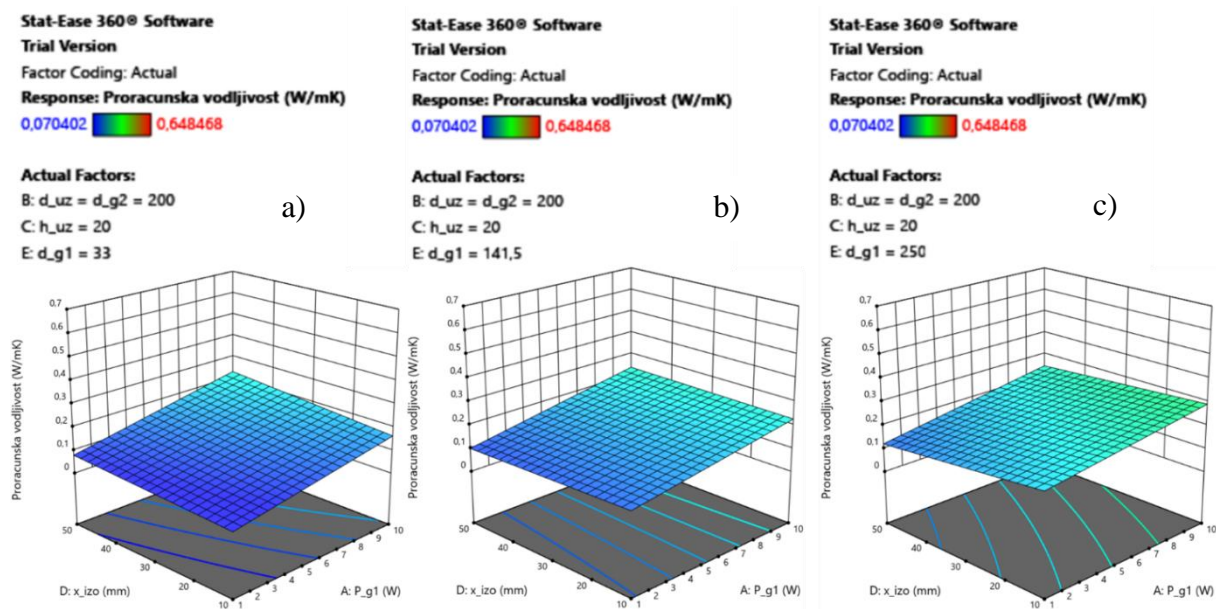
Na slici 6.11 prikazani su dijagrami s osima debljina izolacije (D: x_{izo}) i snaga primarnog grijajuća (A: P_{g1}). Mijenjana je vrijednost visine uzorka (C: h_{uz}) i to za vrijednosti $h_{uz} = 10$ mm (dijagram a), $h_{uz} = 20$ mm (dijagram b) i $h_{uz} = 30$ mm (dijagram c).



Slika 6.11 – Utjecaj promjene visine uzorka na proračunsku toplinsku vodljivost za slučaj uređaja sa promjerom primarnog grijajuća 141,5 mm i promjera uzorka 200 mm.

Povećanjem visine uzorka h_{uz} znatno se smanjuje utjecaj snage primarnog grijajuća P_{g1} na proračunsku toplinsku vodljivost, dok se utjecaj debljine izolacije ne mijenja. Za manje visine uzorka ($h_{uz} = 10$ mm), povećanjem snage primarnog grijajuća P_{g1} smanjuje se preciznost proračunske vodljivosti. Za veće visine uzorka ($h_{uz} = 30$ mm) preciznost proračunske vodljivosti približno je jednaka za sve snage primarnog grijajuća P_{g1} . Najprecizniji rezultati se dobivaju za visinu uzorka $h_{uz} = 30$ mm, snagu primarnog grijajuća $P_{g1} = 1$ W i debljinu izolacije $x_{izo} = 50$ mm.

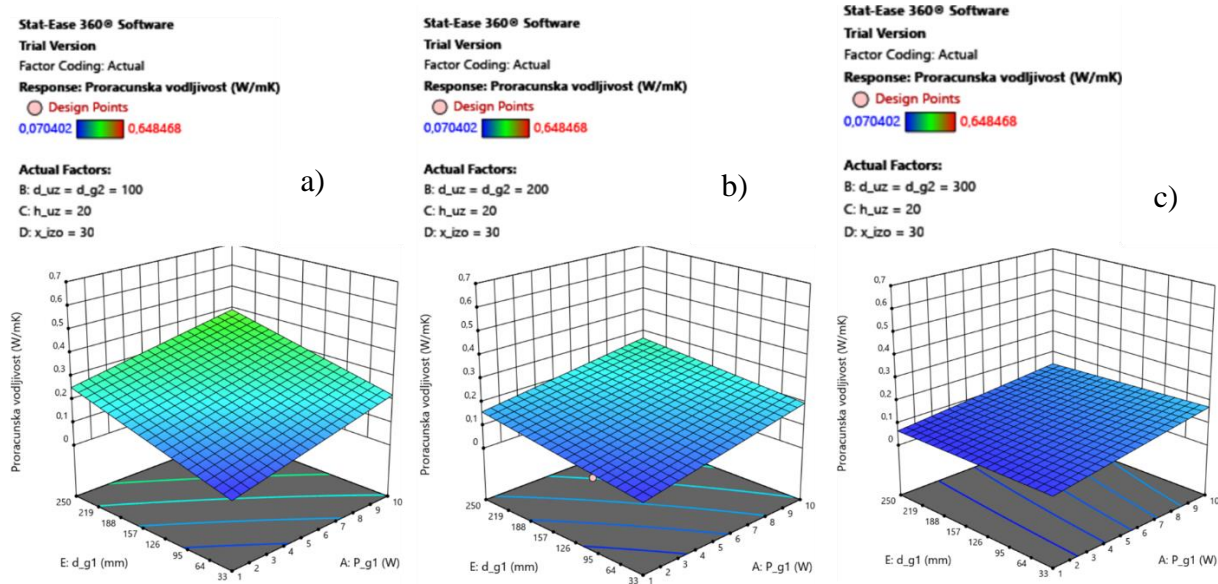
Na slici 6.12 prikazani su dijagrami s osima debljina izolacije (D: x_{izo}) i snaga primarnog grijajuća (A: P_{g1}). Mijenjana je vrijednost promjera primarnog grijajuća (E: d_{g1}) i to za vrijednosti $d_{g1} = 33$ mm (dijagram a), $d_{g1} = 141.5$ mm (dijagram b) i $d_{g1} = 250$ mm (dijagram c).



Slika 6.12 – Utjecaj promjene promjera primarnog grijajuća na proračunsku toplinsku vodljivost za slučaj uređaja sa promjerom uzorka 200 mm i visine uzorka 20 mm.

Povećavanjem promjera primarnog grijajuća d_{g1} povećava se utjecaj debljine izolacije x_{izo} . Primjećuje se da se za manje promjere primarnog grijajuća ($d_{g1} = 33$ mm) povećanjem snage primarnog grijajuća P_{g1} i povećavanjem debljine izolacije x_{izo} smanjuje preciznost proračunske toplinske vodljivosti. Najprecizniji rezultati se dobivaju za promjer primarnog grijajuća $d_{g1} = 33$ mm kad je debljina izolacije $x_{izo} = 50$ mm a snaga primarnog grijajuća $P_{g1} = 1$ W.

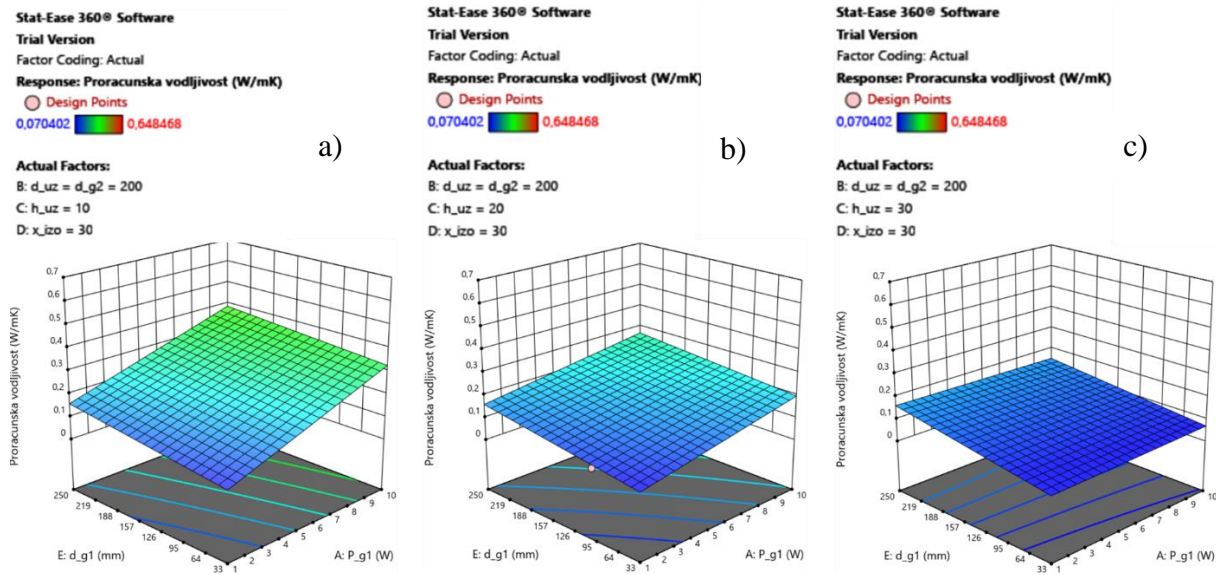
Na slici 6.13 prikazani su dijagrami s osima promjer primarnog grijajuća (E: d_g1) i snaga primarnog grijajuća (A: P_g1). Mijenjana je vrijednost promjera uzorka (B: $d_{uz} = d_g2$) i to za vrijednosti $d_{uz} = d_g2 = 100$ mm (dijagram a), $d_{uz} = d_g2 = 200$ mm (dijagram b) i $d_{uz} = d_g2 = 300$ mm (dijagram c).



Slika 6.13 – Utjecaj promjene promjera uzorka na proračunsку toplinsku vodljivost za slučaj uređaja sa visinom uzorka 20 mm i debljinom izolacije 30 mm.

Povećanjem promjera uzorka $d_{uz} = d_g2$ smanjuje se utjecaj promjera primarnog grijajuća d_g1 i snage primarnog grijajuća P_g1 na dobiveni rezultat proračunske toplinske vodljivosti. Uočava se da se za slučaj manjih promjera uzorka ($d_{uz} = d_g2 = 100$ mm) povećanjem promjera primarnog grijajuća d_g1 i povećanjem snage primarnog grijajuća P_g1 smanjuje preciznost proračunske toplinske vodljivosti. Za manje promjere uzorka ($d_{uz} = d_g2 = 100$ mm) snaga primarnog grijajuća P_g1 i promjer primarnog grijajuća d_g1 bi trebali biti manji. Za veće promjere uzorka ($d_{uz} = d_g2 = 300$ mm) potrebno je da je samo snaga primarnog grijajuća P_g1 manja. Najprecizniji rezultati se dobivaju za promjer uzorka $d_{uz} = d_g2 = 300$ mm i snagu grijajuća $P_g1 = 1\text{W}$.

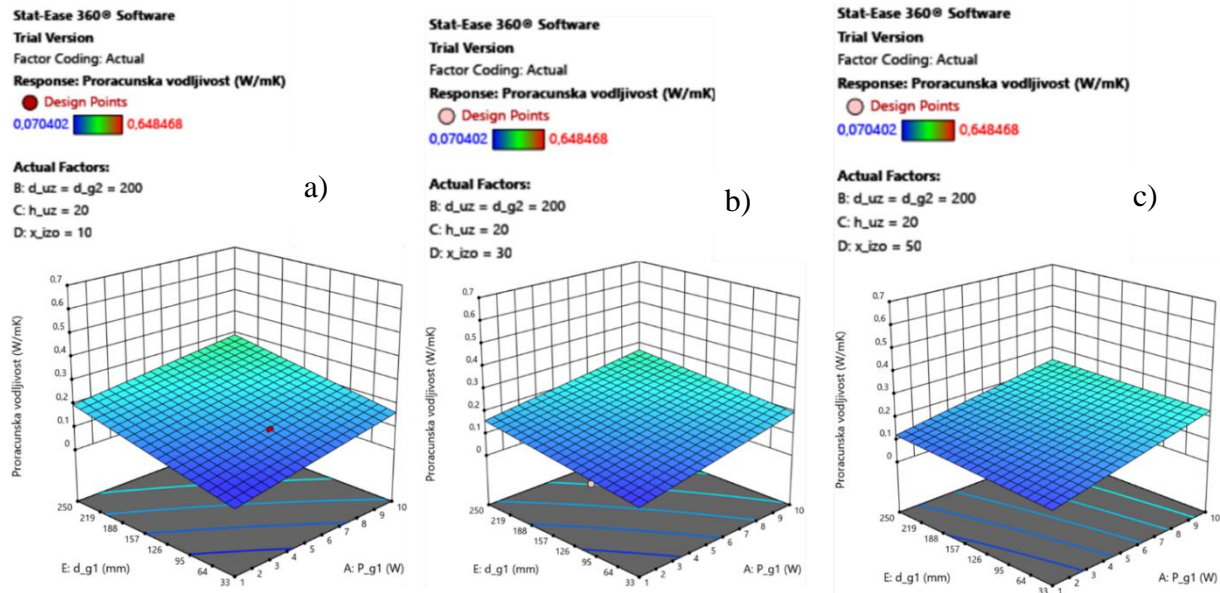
Na slici 6.14 prikazani su dijagrami s osima promjer primarnog grijajućeg elementa (E: d_g1) i snaga primarnog grijajućeg elementa (A: P_g1). Mijenjana je vrijednost visine uzorka (C: h_{uz}) i to za vrijednosti $h_{uz} = 10$ mm (dijagram a), $h_{uz} = 20$ mm (dijagram b) i $h_{uz} = 30$ mm (dijagram c).



Slika 6.14 - Utjecaj promjene visine uzorka na proračunsку toplinsku vodljivost za slučaj uređaja sa promjerom uzorka 200 mm i debljinom izolacije 30 mm.

Povećanjem visine uzorka h_{uz} smanjuje se utjecaj snage primarnog grijajućeg elementa P_g1 . Za manje visine uzorka ($h_{uz} = 10$ mm) snaga primarnog grijajućeg elementa P_g1 bi trebala biti manja dok za slučaj većih visina uzorka ($h_{uz} = 30$ mm) snaga primarnog grijajućeg elementa P_g1 može biti i veća. Kod oba slučaja promjer primarnog grijajućeg elementa d_g1 bi trebao biti manji. Najprecizniji rezultati dobivaju se za visinu uzorka $h_{uz} = 30$ mm i promjer primarnog grijajućeg elementa $d_g1 = 33$ mm.

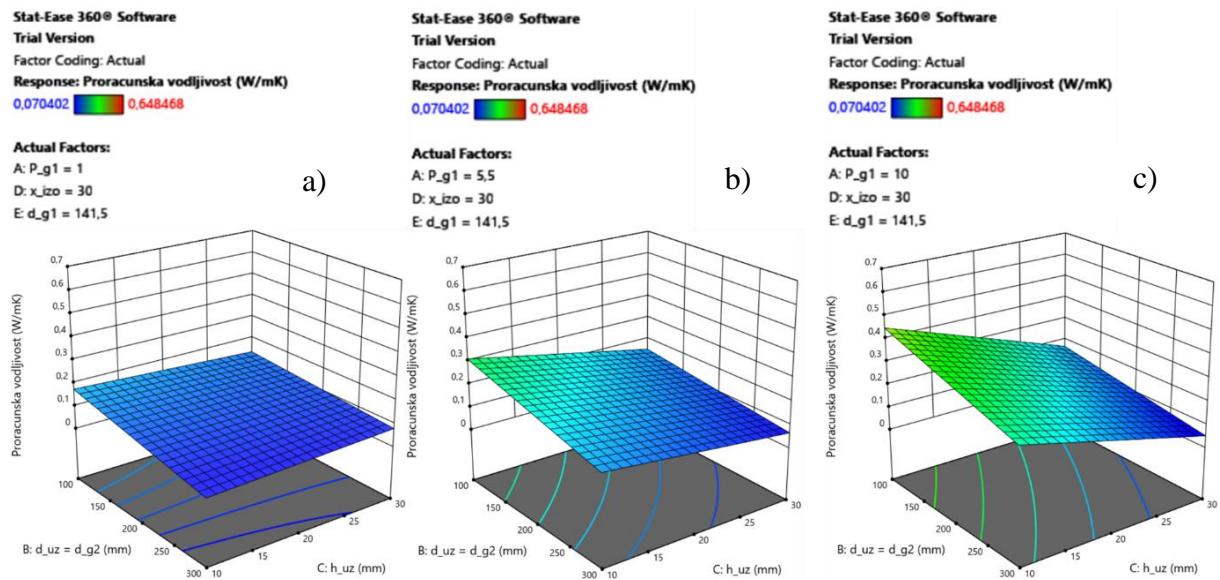
Na slici 6.15 prikazani su dijagrami s osima promjer primarnog grijajućeg elementa (E: d_g1) i snaga primarnog grijajućeg elementa (A: P_g1). Mijenjana je vrijednost debljine izolacije (D: x_{izo}) i to za vrijednosti $x_{izo} = 10$ mm (dijagram a), $x_{izo} = 30$ mm (dijagram b) i $x_{izo} = 50$ mm (dijagram c).



Slika 6.15 - Utjecaj promjene debljine izolacije na proračunsku toplinsku vodljivost za slučaj uređaja sa promjerom uzorka 200 mm i visine uzorka 20 mm.

Povećanjem debljine izolacije x_{izo} smanjuje se utjecaj promjera primarnog grijajućeg elementa d_g1 na rezultate proračunske toplinske vodljivosti. Također se povećanjem debljine izolacije x_{izo} smanjuje preciznost rezultata proračunske toplinske vodljivosti za veće snage primarnog grijajućeg elementa P_g1 .

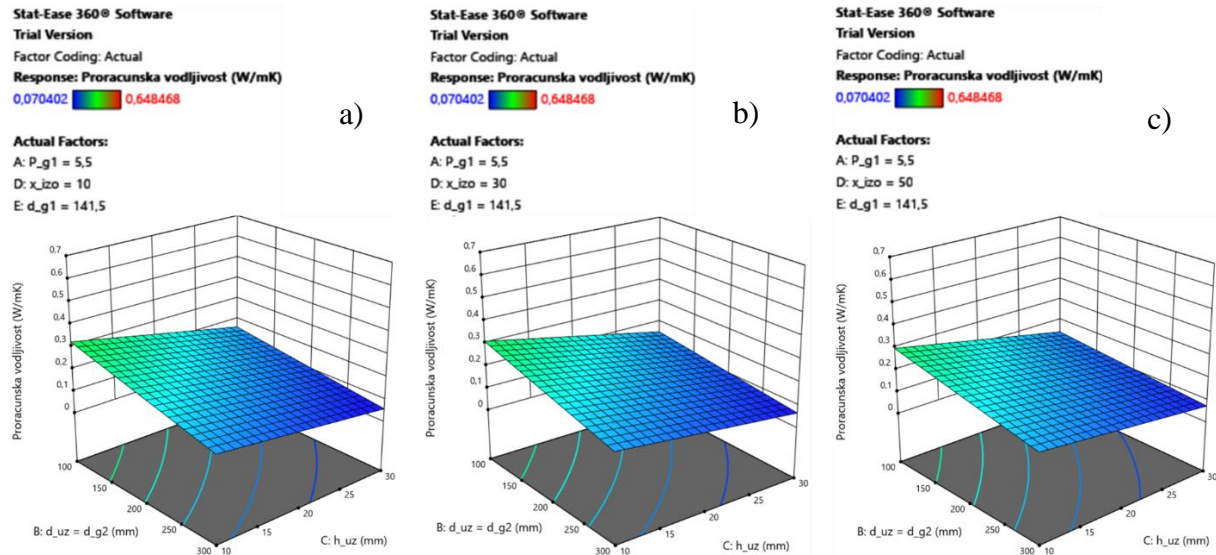
Na slici 6.16 prikazani su dijagrami s osima promjer uzorka (B: $d_{uz} = d_{g2}$) i visina uzorka (C: h_{uz}). Mijenjana je vrijednost snage primarnog grijajuća (A: P_{g1}) i to za vrijednosti $P_{g1} = 1 \text{ W}$ (dijagram a), $P_{g1} = 5.5 \text{ W}$ (dijagram b) i $P_{g1} = 10 \text{ W}$ (dijagram c).



Slika 6.16 – Utjecaj promjene snage primarnog grijajuća na proračunsku toplinsku vodljivost za slučaj uređaja sa promjerom primarnog grijajuća 141,5 mm i debljinom izolacije 30 mm.

Povećanjem snage primarnog grijajuća P_{g1} povećava se utjecaj promjera uzorka $d_{uz} = d_{g2}$ i visine uzorka h_{uz} na rezultat proračunske toplinske vodljivosti. Za veće snage primarnog grijajuća ($P_{g1} = 10 \text{ W}$) promjer uzorka $d_{uz} = d_{g2}$ i visina uzorka h_{uz} bi trebali biti veći. Dok za manje snage primarnog grijajuća ($P_{g1} = 1 \text{ W}$) bi promjer uzorka $d_{uz} = d_{g2}$ trebao biti veći a visina uzorka nema velikog utjecaja h_{uz} .

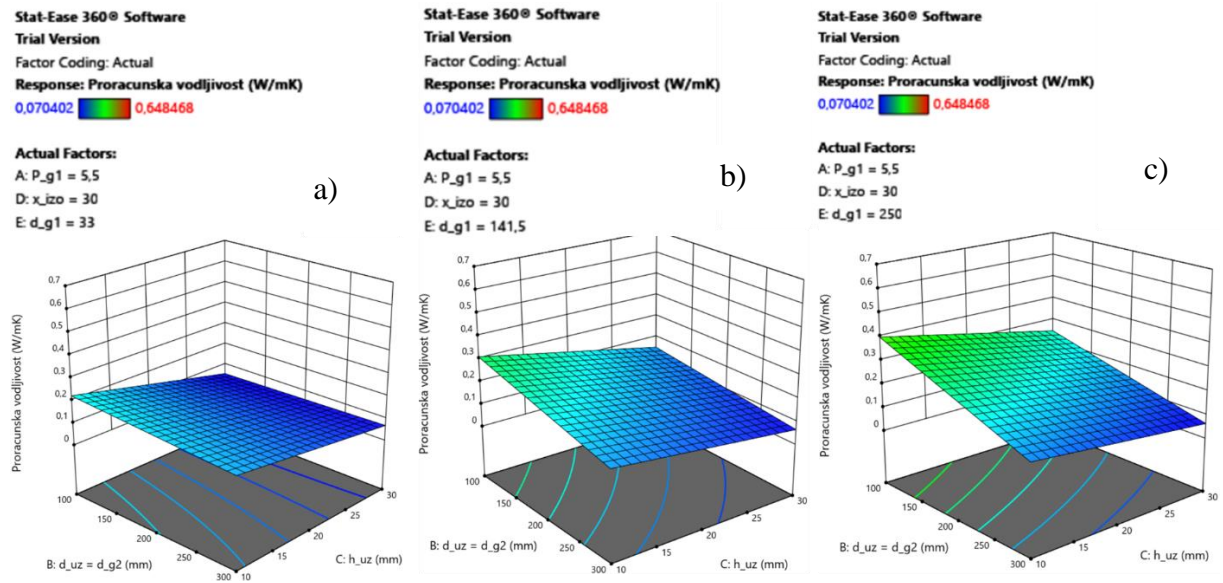
Na slici 6.17 prikazani su dijagrami s osima promjer uzorka (B: $d_{uz} = d_{g2}$) i visina uzorka (C: h_{uz}). Mijenjana je vrijednost debljine izolacije (D: x_{izo}) i to za vrijednosti $x_{izo} = 10$ mm (dijagram a), $x_{izo} = 30$ mm (dijagram b) i $x_{izo} = 50$ mm (dijagram c).



Slika 6.17 – Utjecaj promjene debljine izolacije na proračunsku toplinsku vodljivost za slučaj uređaja sa promjerom primarnog grijača 141,5 mm i snagom primarnog grijača 5,5 W.

Povećavanjem debljine izolacije x_{izo} ne mijenja se utjecaj promjera uzorka $d_{uz} = d_{g2}$ i visine uzorka h_{uz} na dobiveni rezultat proračunske vodljivosti. Za sva tri slučaja preciznost proračunske toplinske vodljivosti se smanjuje smanjenjem promjera uzorka $d_{uz} = d_{g2}$ i visine uzorka h_{uz} . Najprecizniji rezultati se dobivaju za promjer uzorka $d_{uz} = d_{g2} = 300$ mm i visine $h_{uz} = 30$ mm za sva tri slučaja debljine izolacije x_{izo} .

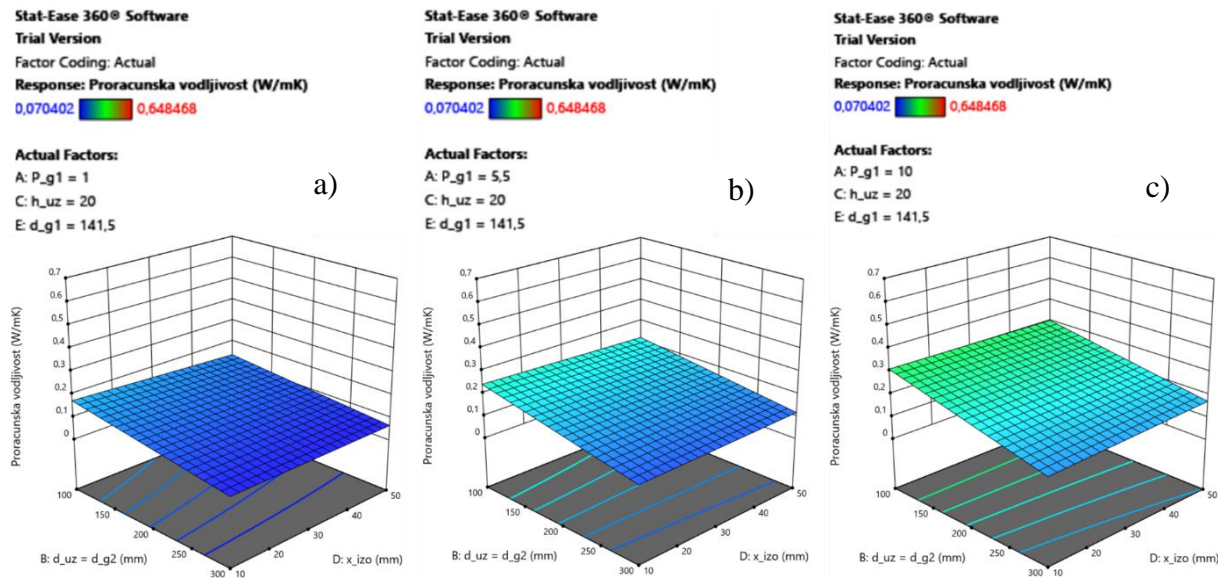
Na slici 6.18 prikazani su dijagrami s osima promjer uzorka (B: $d_{uz} = d_{g2}$) i visina uzorka (C: h_{uz}). Mijenjana je vrijednost promjera primarnog grijača (E: d_{g1}) i to za vrijednosti $d_{g1} = 33$ mm (dijagram a), $d_{g1} = 141.5$ mm (dijagram b) i $d_{g1} = 250$ mm (dijagram c).



Slika 6.18 – Utjecaj promjene primarnog grijača na proračunsku toplinsku vodljivost za slučaj uređaja sa debjinom izolacije 30 mm i snagom primarnog grijača 5.5 W.

Povećanjem promjera primarnog grijača d_{g1} povećava se utjecaj promjera uzorka $d_{uz} = d_{g2}$ dok utjecaj visine uzorka h_{uz} ostaje isti. Za manje promjere primarnog grijača ($d_{g1} = 33$ mm) najprecizniji rezultati proračunske toplinske vodljivosti se dobivaju za visinu uzorka $h_{uz} = 30$ mm sa zanemarivim utjecajem promjera uzorka $d_{uz} = d_{g2}$. Kod većih promjera primarnog grijača ($d_{g1} = 250$ mm) najprecizniji rezultati se dobivaju za visinu uzorka $h_{uz} = 30$ mm i promjer uzorka $d_{uz} = d_{g2} = 300$ mm.

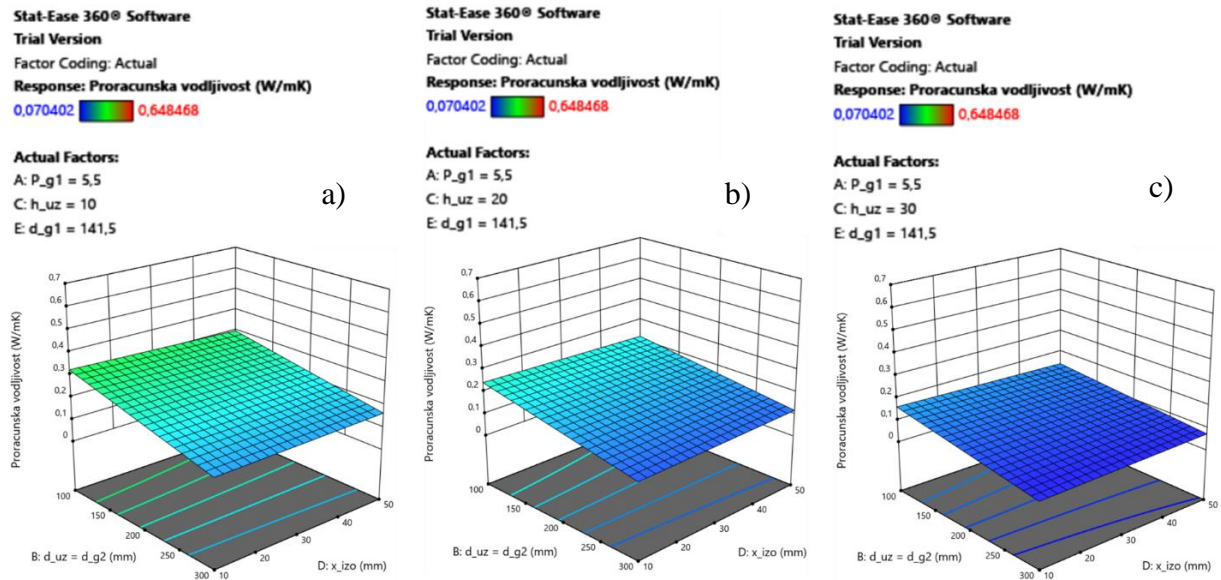
Na slici 6.19 prikazani su dijagrami s osima promjer uzorka (B: $d_{uz} = d_{g2}$) i debљina izolacije (D: x_{izo}). Mijenjana je vrijednost snage primarnog grijajuća (A: P_{g1}) i to za vrijednosti $P_{g1} = 1 \text{ W}$ (dijagram a), $P_{g1} = 5.5 \text{ W}$ (dijagram b) i $P_{g1} = 10 \text{ W}$ (dijagram c).



Slika 6.19 – Utjecaj promjene snage primarnog grijajuća na proračunsku toplinsku vodljivost za slučaj uređaja sa promjerom primarnog grijajuća 141,5 mm i visine uzorka 20 mm.

Povećavanjem snage primarnog grijajuća P_{g1} raste utjecaj promjera uzorka $d_{uz} = d_{g2}$ na rezultat proračunske toplinske vodljivosti. Povećavanjem promjera uzorka $d_{uz} = d_{g2}$ za slučaj manjih snaga primarnog grijajuća ($P_{g1} = 1 \text{ W}$) smanjuje se preciznost proračuna toplinske vodljivosti. Najprecizniji rezultati dobivaju se za snagu grijajuća $P_{g1} = 1 \text{ W}$ i promjer uzorka $d_{uz} = d_{g2} = 300 \text{ mm}$.

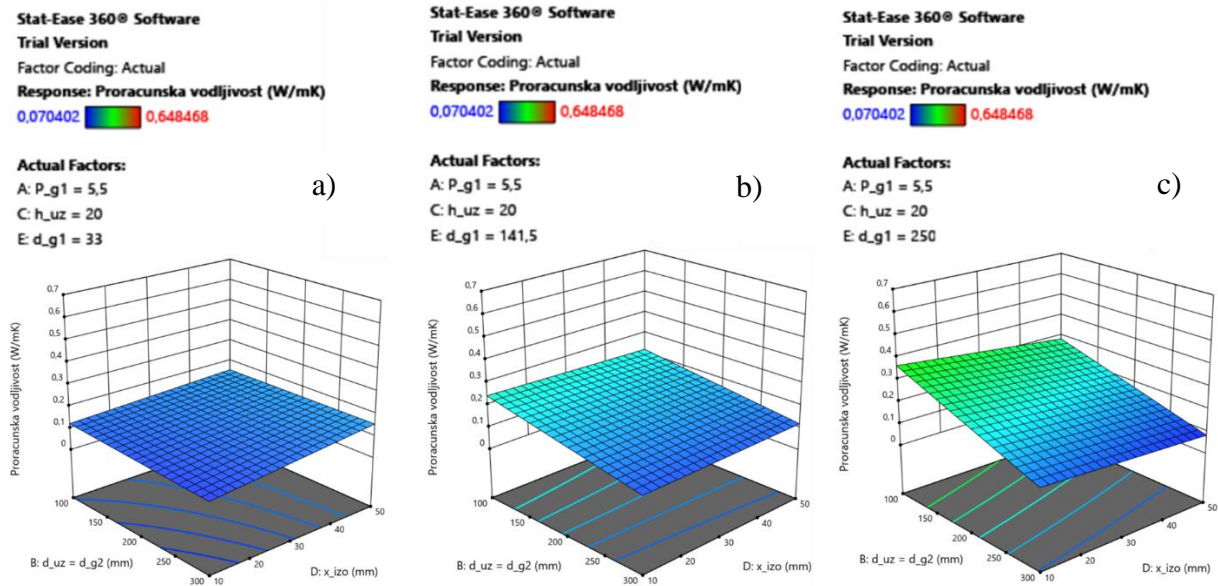
Na slici 6.20 prikazani su dijagrami s osima promjer uzorka (B: $d_{uz} = d_{g2}$) i debljina izolacije (D: x_{izo}). Mijenjana je vrijednost visine uzorka (C: h_{uz}) i to za vrijednosti $h_{uz} = 10$ mm (dijagram a), $h_{uz} = 20$ mm (dijagram b) i $h_{uz} = 30$ mm (dijagram c).



Slika 6.20 – Utjecaj promjene visine uzorka na proračunsku toplinsku vodljivost za slučaj uređaja sa promjerom primarnog grijača 141,5 mm i snagom primarnog grijača 5,5 W.

Povećavanjem visine uzorka h_{uz} smanjuje se utjecaj promjera uzorka $d_{uz} = d_{g2}$ na rezultat proračunske toplinske vodljivosti a utjecaj debljine izolacije x_{izo} ostaje isti. najprecizniji rezultati se dobivaju za visinu uzorka $h_{uz} = 30$ mm, promjer uzorka $d_{uz} = d_{g2} = 300$ mm i debljina izolacije $x_{izo} = 50$ mm. Smanjenjem promjera uzorka $d_{uz} = d_{g2}$ smanjuje se preciznost proračuna toplinske vodljivosti.

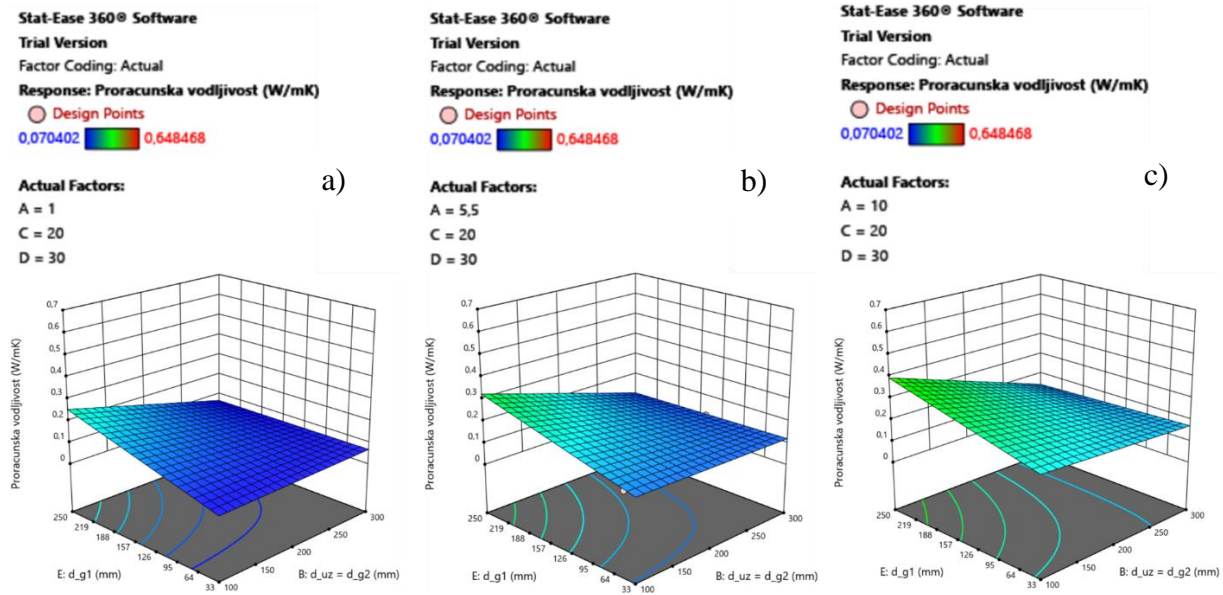
Na slici 6.21 prikazani su dijagrami s osima promjer uzorka (B: $d_{uz} = d_{g2}$) i debljina izolacije (D: x_{izo}). Mijenjana je vrijednost promjera primarnog grijajuća (E: d_{g1}) i to za vrijednosti $d_{g1} = 33$ mm (dijagram a), $d_{g1} = 141.5$ mm (dijagram b) i $d_{g1} = 250$ mm (dijagram c).



Slika 6.21 – Utjecaj promjene promjera primarnog grijajuća na proračunsku toplinsku vodljivost za slučaj uređaja sa snagom primarnog grijajuća 5,5 W i visine uzorka 20 mm.

Povećanjem promjera primarnog grijajuća d_{g1} povećava se utjecaj promjera uzorka $d_{uz} = d_{g2}$ na rezultat proračunske toplinske vodljivosti. Primjećuje se da za slučaj manjih promjera grijajuća ($d_{g1} = 33$ mm) najprecizniji rezultat dobiva za vrijednost promjera uzorka $d_{uz} = d_{g2} = 300$ mm i debljine izolacije $x_{izo} = 10$ mm. Dok se u slučaju većih promjera primarnog grijajuća ($d_{g1} = 250$ mm) najprecizniji rezultati dobivaju za promjer uzorka $d_{uz} = d_{g2} = 300$ mm i debljine izolacije $x_{izo} = 50$ mm.

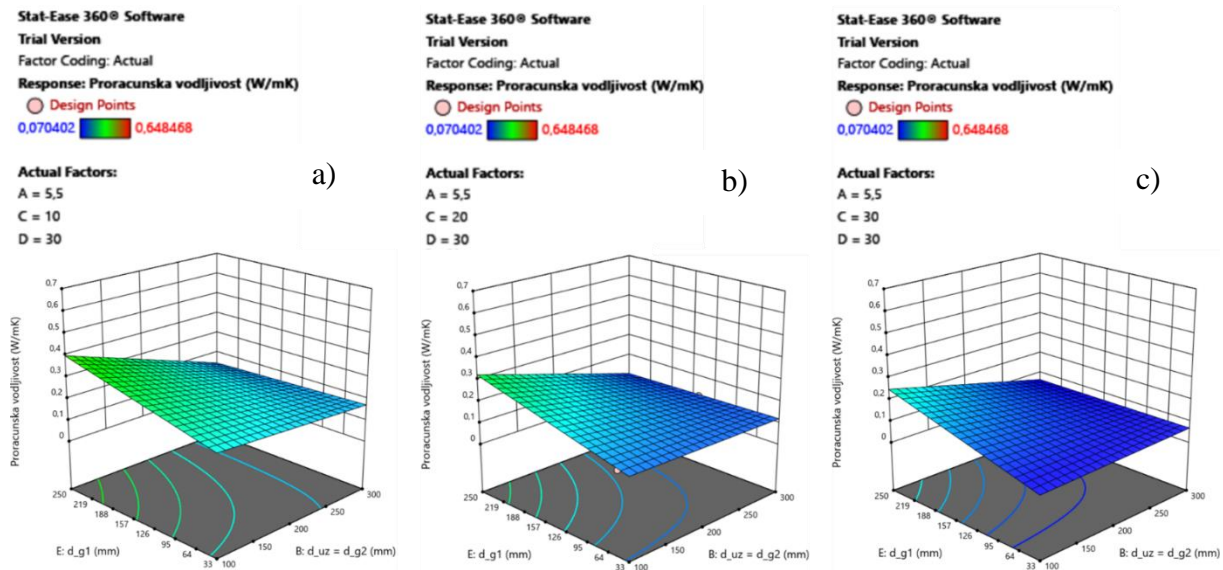
Na slici 6.22 prikazani su dijagrami s osima promjer primarnog grijajuća (E: d_g1) i promjer uzorka (B: $d_{uz} = d_g2$). Mijenjana je vrijednost snage primarnog grijajuća (A: P_g1) i to za vrijednosti $P_g1 = 1 \text{ W}$ (dijagram a), $P_g1 = 5.5 \text{ W}$ (dijagram b) i $P_g1 = 10 \text{ W}$ (dijagram c).



Slika 6.22 – Utjecaj promjene snage primarnog grijajuća na proračunsku toplinsku vodljivost za slučaj uređaja sa visinom uzorka 20 mm i debljinom izolacije 30 mm.

Povećavanjem snage primarnog grijajuća P_g1 smanjuje se preciznost proračuna toplinske vodljivosti za slučaj uređaja sa visinom uzorka $h_{uz} = 20 \text{ mm}$ i debljinom izolacije $x_{izo} = 30 \text{ mm}$. Najprecizniji rezultat se dobije za snagu primarnog grijajuća $P_g1 = 1 \text{ W}$, promjer primarnog grijajuća $d_g1 = 33 \text{ mm}$ i promjer uzorka $d_{uz} = d_g2 = 300 \text{ mm}$. Povećavanjem promjera primarnog grijajuća d_g1 i smanjenjem promjera uzorka $d_{uz} = d_g2$ smanjuje se preciznost proračuna toplinske vodljivosti.

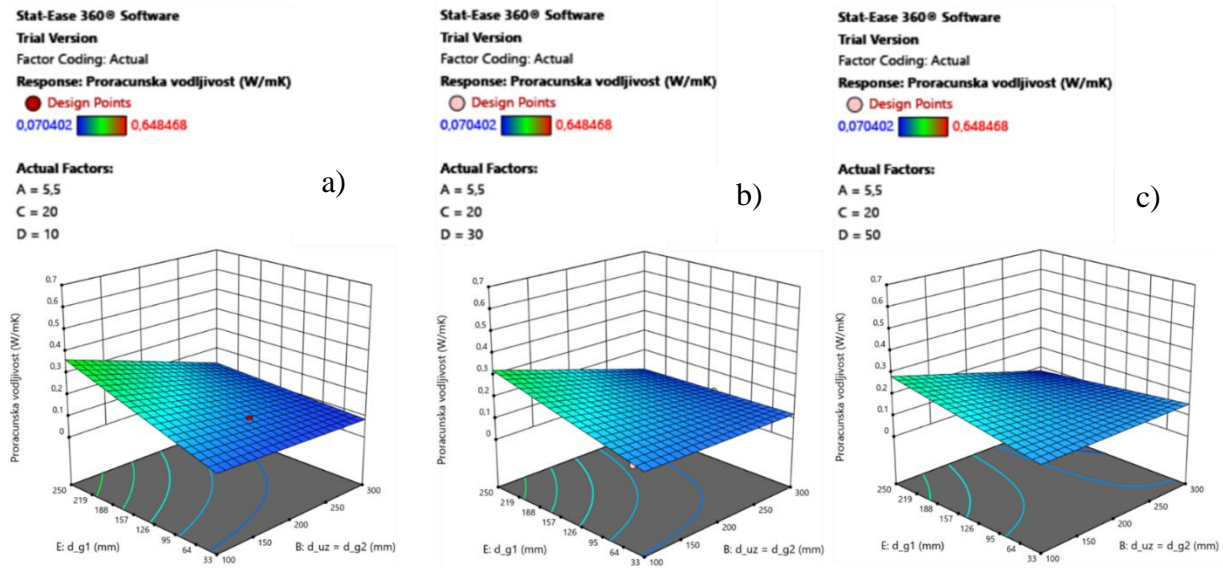
Na slici 6.23 prikazani su dijagrami s osima promjer primarnog grijajuća (E: d_g1) i promjer uzorka (B: $d_{uz} = d_g2$). Mijenjana je vrijednost visine uzorka (C: h_{uz}) i to za vrijednosti $h_{uz} = 10$ mm (dijagram a), $h_{uz} = 20$ mm (dijagram b) i $h_{uz} = 30$ mm (dijagram c).



Slika 6.23 – Utjecaj promjene visine uzorka na proračunsku toplinsku vodljivost za slučaj uređaja sa snagom primarnog grijajuća 5.5 W i debljine izolacije 30 mm.

Povećanjem visine uzorka h_{uz} povećava se preciznost proračuna toplinske vodljivosti. Za manje visine uzorka ($h_{uz} = 10$ mm) najprecizniji rezultati se dobivaju sa promjerom primarnog grijajuća $d_g1 = 250$ mm i promjerom uzorka $d_{uz} = d_g2 = 300$ mm. U slučaju većih visina uzorka ($h_{uz} = 30$ mm) najprecizniji rezultati proračunske vodljivosti se dobivaju za promjer primarnog grijajuća $d_g1 = 33$ mm i promjer uzorka $d_{uz} = d_g2 = 300$ mm.

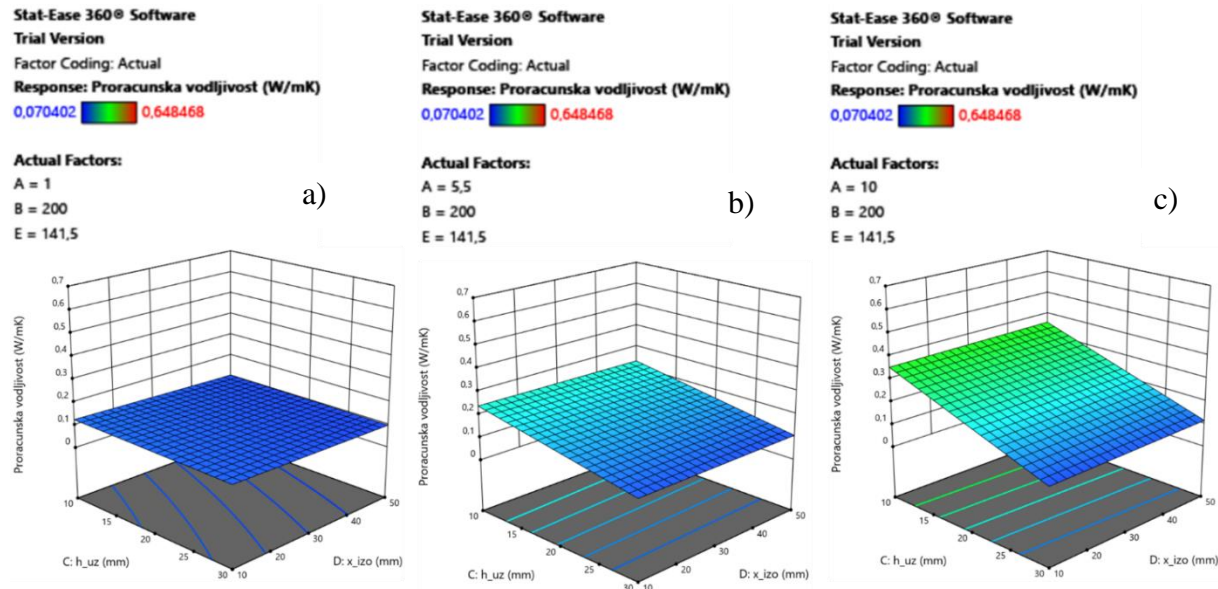
Na slici 6.24 prikazani su dijagrami s osima promjer primarnog grijajućeg elementa (E: d_g1) i promjer uzorka (B: $d_{uz} = d_{g2}$). Mijenjana je vrijednost debljine izolacije (D: x_{izo}) i to za vrijednosti $x_{izo} = 10$ mm (dijagram a), $x_{izo} = 30$ mm (dijagram b) i $x_{izo} = 50$ mm (dijagram c).



Slika 6.24 – Utjecaj promjene debljine izolacije na proračunsku toplinsku vodljivost za slučaj uređaja sa snagom primarnog grijajuća 5.5 W i visine uzorka 20 mm.

Povećanjem debljine izolacije x_{izo} smanjuje se utjecaj promjera primarnog grijajućeg elementa d_g1 na rezultat proračunske toplinske vodljivosti. Primjećuje se da povećanjem debljine izolacije x_{izo} , preciznije rezultate proračuna toplinske vodljivosti daju veći promjer primarnog grijajućeg elementa d_g1 . Kod manjih debljina izolacije ($x_{izo} = 10$ mm) najprecizniji rezultati se dobivaju za promjer primarnog grijajućeg elementa $d_g1 = 33$ mm i promjer uzorka $d_{uz} = d_{g2} = 300$ mm. Za slučaj većih debljina izolacije ($x_{izo} = 50$ mm) najprecizniji rezultati se dobivaju za promjer primarnog grijajućeg elementa $d_g1 = 250$ mm i promjer uzorka $d_{uz} = d_{g2} = 300$ mm.

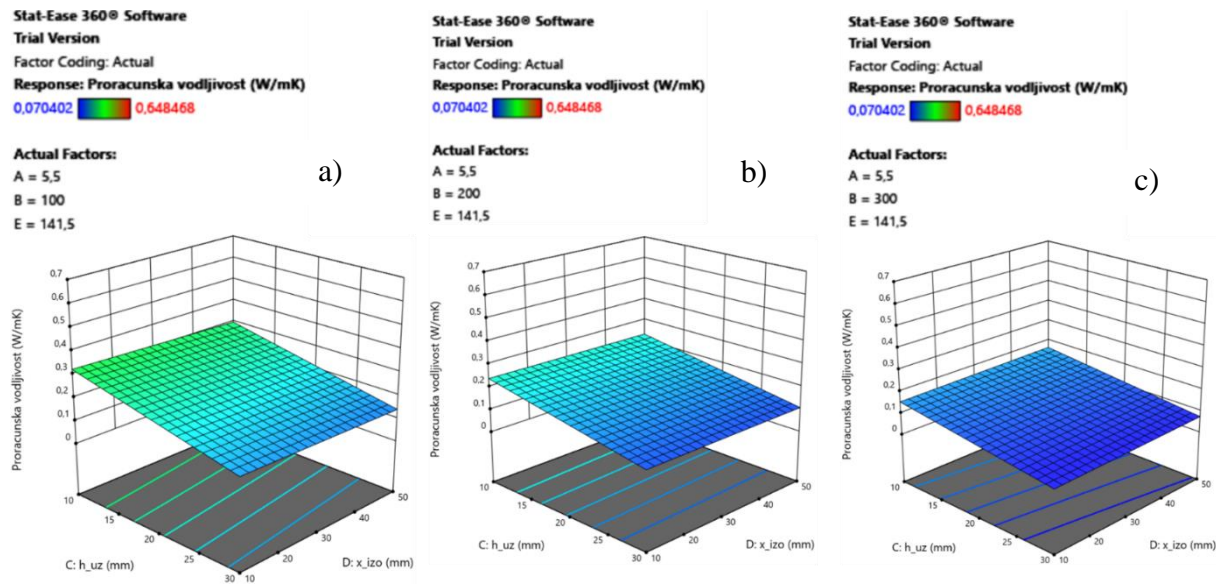
Na slici 6.25 prikazani su dijagrami s osima visina uzorka (C: h_{uz}) i debljina izolacije (D: x_{izo}). Mijenjana je vrijednost snage primarnog grijajućeg elementa (A: P_{gl}) i to za vrijednosti $P_{gl} = 1$ W (dijagram a), $P_{gl} = 5.5$ W (dijagram b) i $P_{gl} = 10$ W (dijagram c).



Slika 6.25 – Utjecaj promjene snage primarnog grijajućeg elementa na proračunsku toplinsku vodljivost za slučaj uređaja sa promjerom primarnog grijajućeg elementa 141,5 mm i promjerom uzorka 200 mm.

Povećanjem snage primarnog grijajućeg elementa povećava se utjecaj visine uzorka h_{uz} na dobiveni rezultat proračunske toplinske vodljivosti, a utjecaj debljine izolacije se ne mijenja. Za veće snage primarnog grijajućeg elementa P_{gl} visina uzorka h_{uz} bi trebala biti veća. Također se uočava da za manje snage primarnog grijajućeg elementa ($P_{gl} = 1$ W), visina uzorka h_{uz} i debljina izolacije x_{izo} imaju zanemariv utjecaj.

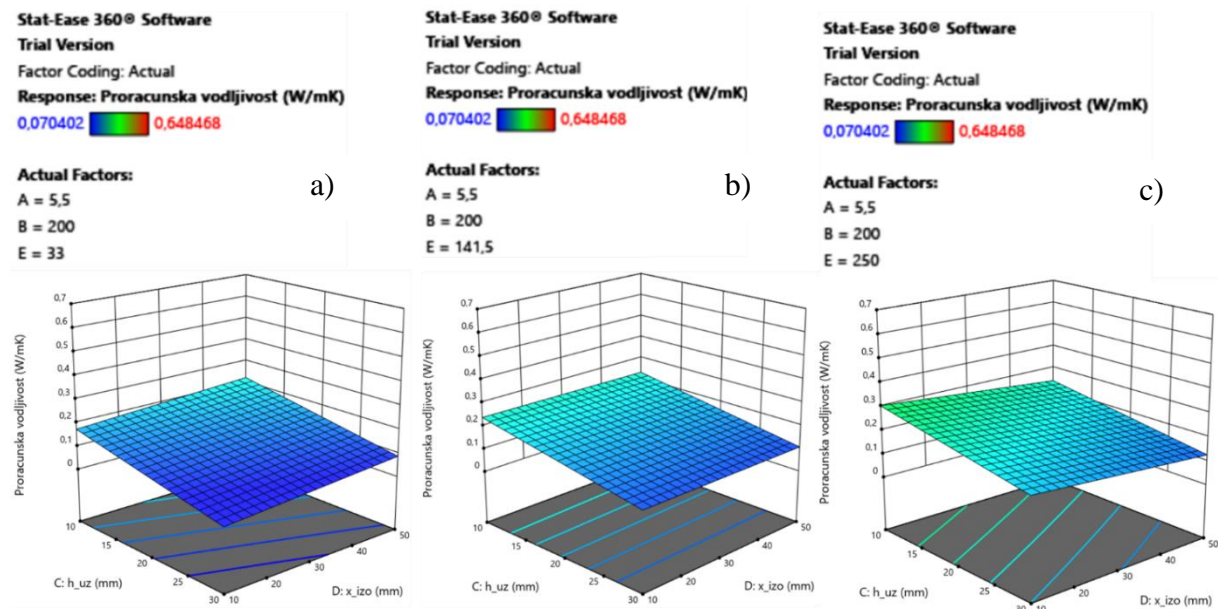
Na slici 6.26 prikazani su dijagrami s osima visina uzorka (C: h_{uz}) i debljina izolacije (D: x_{izo}). Mijenjana je vrijednost promjera uzorka (B: $d_{uz} = d_{g2}$) i to za vrijednosti $d_{uz} = d_{g2} = 100$ mm (dijagram a), $d_{uz} = d_{g2} = 200$ mm (dijagram b) i $d_{uz} = d_{g2} = 300$ mm (dijagram c).



Slika 6.26 – Utjecaj promjene promjera uzorka na proračunsku toplinsku vodljivost za slučaj uređaja sa promjerom primarnog grijaca 141,5 mm i snagom primarnog grijaca 5,5 W.

Povećanjem promjera uzorka smanjuje se utjecaj visine uzorka h_{uz} i povećava preciznost proračuna toplinske vodljivosti. Najprecizniji rezultati se dobivaju za slučaj većih promjera uzorka ($d_{uz} = d_{g2} = 300$ mm) kad je visina uzorka $h_{uz} = 30$ mm a debljina izolacije $x_{izo} = 50$ mm. Smanjenjem visine uzorka smanjuje se preciznost proračuna toplinske vodljivosti.

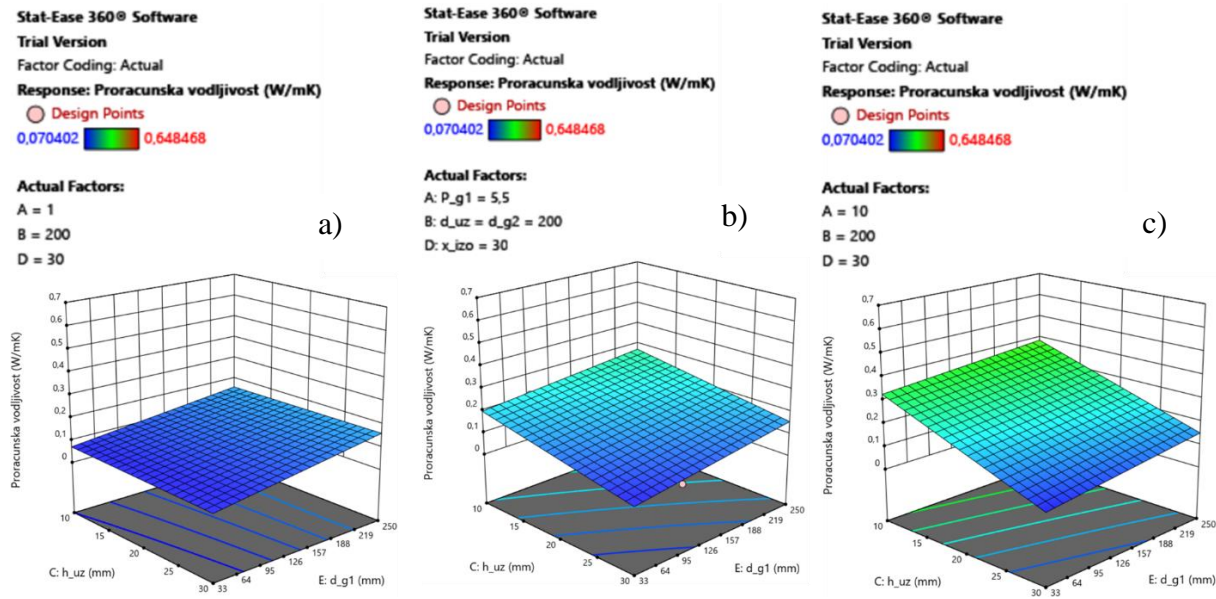
Na slici 6.27 prikazani su dijagrami s osima visina uzorka (C: h_{uz}) i debljina izolacije (D: x_{izo}). Mijenjana je vrijednost promjera primarnog grijajućeg elementa (E: d_{g1}) i to za vrijednosti $d_{g1} = 33$ mm (dijagram a), $d_{g1} = 141.5$ mm (dijagram b) i $d_{g1} = 250$ mm (dijagram c).



Slika 6.27 – Utjecaj promjene promjera primarnog grijajućeg elementa na proračunsku toplinsku vodljivost za slučaj uređaja sa promjerom uzorka 200 mm i snagom primarnog grijajućeg 5,5 W.

Povećavanjem promjera primarnog grijajućeg elementa d_{g1} smanjuje se utjecaj visine uzorka h_{uz} na rezultat proračunske toplinske vodljivosti. Najprecizniji rezultati proračunske vodljivosti dobivaju se za slučaj manjih promjera primarnog grijajućeg elementa ($d_{g1} = 33$ mm) i to za visinu uzorka $h_{uz} = 30$ mm i debljinu izolacije $x_{izo} = 50$ mm. Povećavanjem promjera primarnog grijajućeg elementa d_{g1} i smanjenjem visine uzorka h_{uz} smanjuje se preciznost proračunske toplinske vodljivosti.

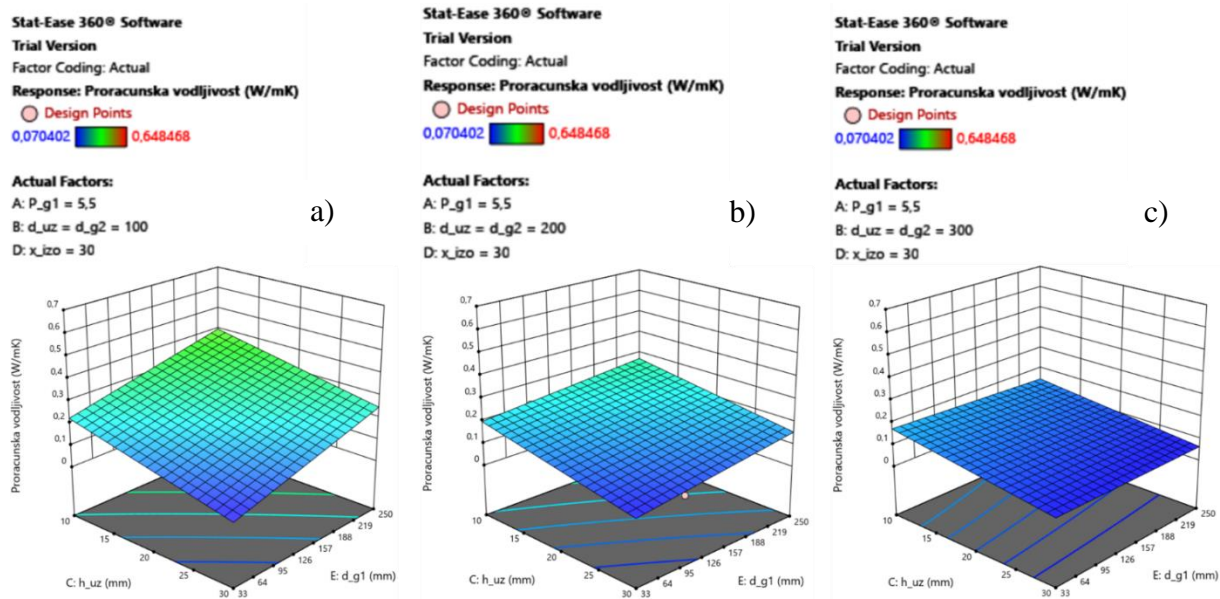
Na slici 6.28 prikazani su dijagrami s osima visina uzorka (C: h_{uz}) i promjer primarnog grijajuća (E: d_g1). Mijenjana je vrijednost snage primarnog grijajuća (A: P_g1) i to za vrijednosti $P_g1 = 1$ W (dijagram a), $P_g1 = 5.5$ W (dijagram b) i $P_g1 = 10$ W (dijagram c).



Slika 6.28 – Utjecaj promjene snage primarnog grijajuća na proračunsku toplinsku vodljivost za slučaj uređaja sa promjerom uzorka 200 mm i debljinom izolacije 30 mm.

Povećanjem snage primarnog grijajuća P_g1 povećava se utjecaj visine uzorka h_{uz} na rezultat proračunske toplinske vodljivosti, a utjecaj promjera primarnog grijajuća d_g1 ostaje isti. Za slučaj manjih snaga primarnog grijajuća ($P_g1 = 1$ W) najprecizniji rezultati se dobivaju za promjer primarnog grijajuća $d_g1 = 33$ mm sa zanemarivim utjecajem visine uzorka h_{uz} . Povećavanjem promjera primarnog grijajuća d_g1 se smanjuje preciznost proračuna toplinske vodljivosti. Kod većih snaga primarnog grijajuća ($P_g1 = 10$ W) najprecizniji rezultati se dobivaju za promjer primarnog grijajuća $d_g1 = 33$ mm i visinu uzorka $h_{uz} = 30$ mm, a njihovim povećavanjem se smanjuje preciznost proračuna toplinske vodljivosti.

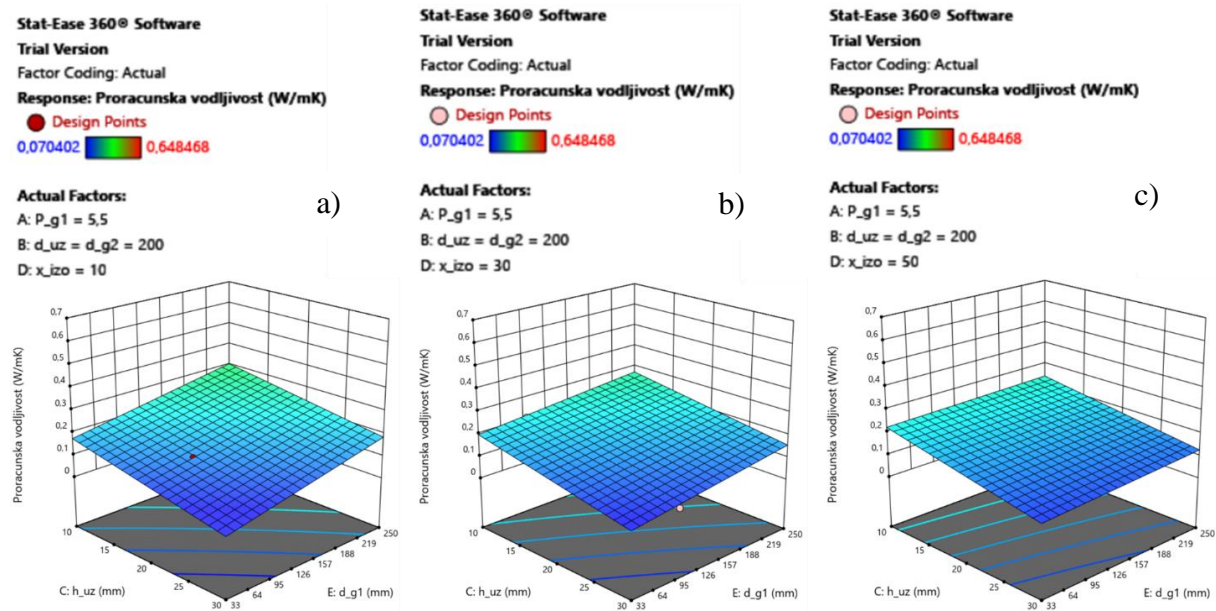
Na slici 6.29 prikazani su dijagrami s osima visina uzorka (C: h_{uz}) i promjer primarnog grijajuća (E: d_g1). Mijenjana je vrijednost promjera uzorka (B: $d_{uz} = d_{g2}$) i to za vrijednosti $d_{uz} = d_{g2} = 100$ mm (dijagram a), $d_{uz} = d_{g2} = 200$ mm (dijagram b) i $d_{uz} = d_{g2} = 300$ mm (dijagram c).



Slika 6.29 – Utjecaj promjene promjera uzorka na proračunsку toplinsku vodljivost za slučaj uređaja sa snagom primarnog grijajuća 5.5 W i debljine izolacije 30 mm.

Povećanjem promjera uzorka $d_{uz} = d_{g2}$ smanjuje se utjecaj visine uzorka h_{uz} i promjera primarnog grijajuća d_g1 na rezultat proračunske toplinske vodljivosti. Za slučaj manjih promjera uzorka ($d_{uz} = d_{g2} = 100$ mm) najprecizniji rezultat se dobiva za visinu uzorka $h_{uz} = 30$ mm i promjer primarnog grijajuća $d_g1 = 33$ mm. Kod većih promjera uzorka ($d_{uz} = d_{g2} = 300$ mm) najprecizniji rezultati se dobivaju za visinu uzorka $h_{uz} = 30$ mm i različite promjere primarnog grijajuća d_g1 .

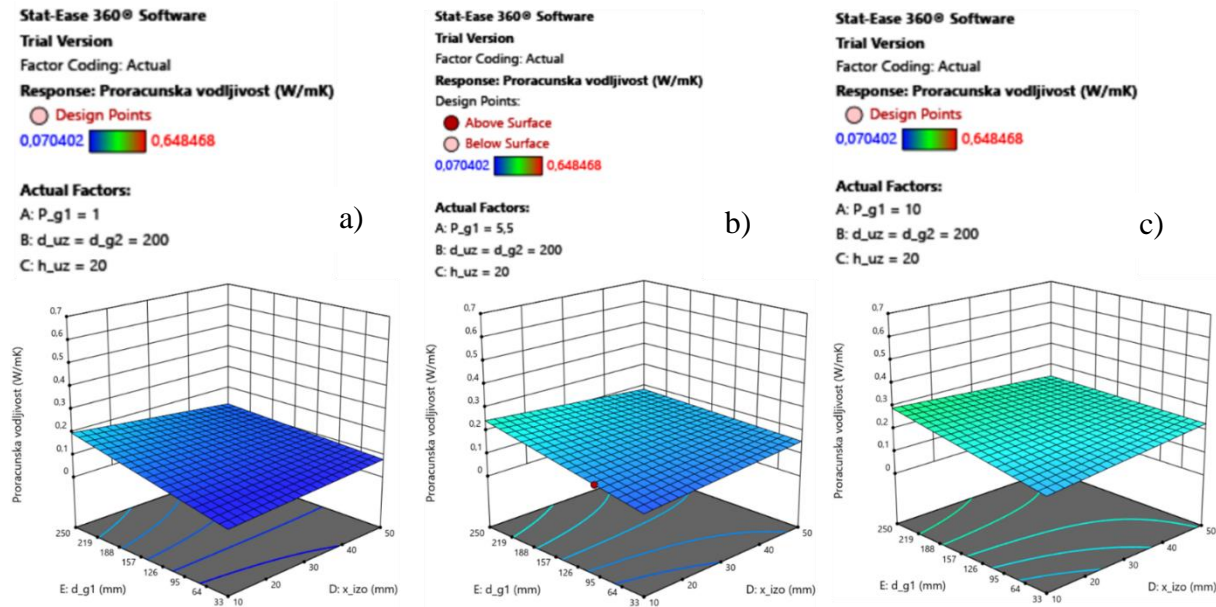
Na slici 6.30 prikazani su dijagrami s osima visina uzorka (C: h_{uz}) i promjer primarnog grijajuća (E: d_{g1}). Mijenjana je vrijednost debljine izolacije (D: x_{izo}) i to za vrijednosti $x_{izo} = 10$ mm (dijagram a), $x_{izo} = 30$ mm (dijagram b) i $x_{izo} = 50$ mm (dijagram c).



Slika 6.30 – Utjecaj promjene debljine izolacije na proračunsku toplinsku vodljivost za slučaj uređaja sa snagom primarnog grijajuća 5.5 W i promjerom uzorka 200 mm.

Povećanjem debljine izolacije x_{izo} povećava se preciznost proračuna toplinske vodljivosti za slučaj većih visina uzorka h_{uz} i većih promjera primarnog grijajuća d_{g1} . U slučaju manjih debljina izolacije ($x_{izo} = 10$ mm) najprecizniji rezultat se dobiva za visinu uzorka $h_{uz} = 30$ mm i promjer primarnog grijajuća $d_{g1} = 33$ mm. Za veće debljine izolacije ($x_{izo} = 50$ mm) utjecaj promjera primarnog grijajuća d_{g1} je zanemariv.

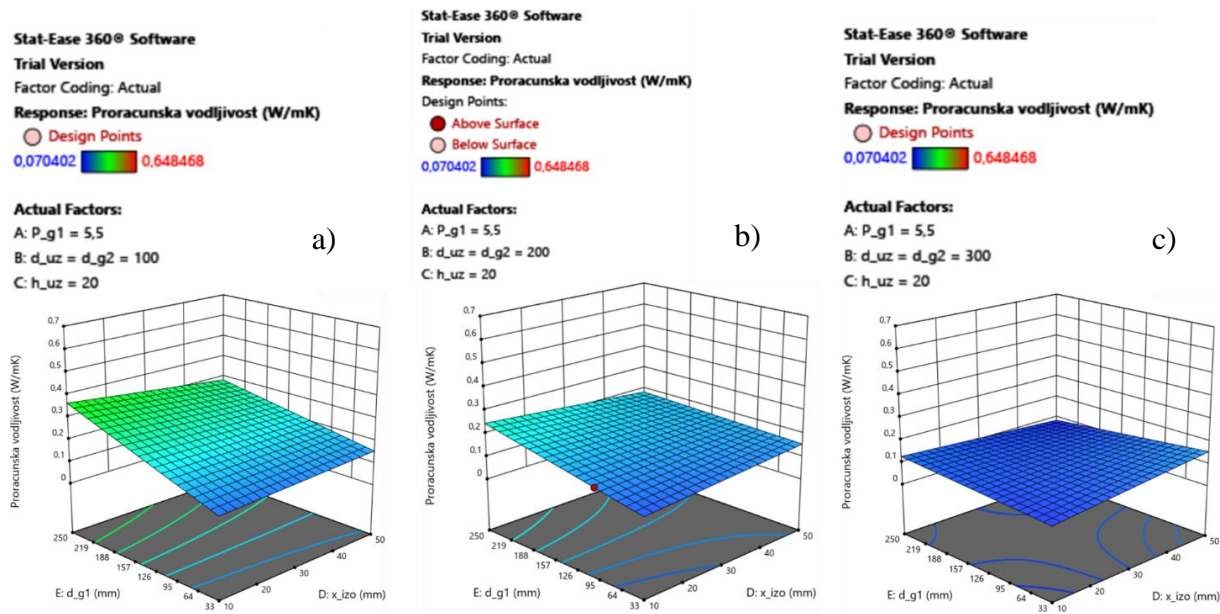
Na slici 6.31 prikazani su dijagrami s osima promjer primarnog grijajućeg (E: d_{g1}) i debljinu izolacije (D: x_{izo}). Mijenjana je vrijednost snage primarnog grijajućeg (A: P_{g1}) i to za vrijednosti $P_{g1} = 1 \text{ W}$ (dijagram a), $P_{g1} = 5.5 \text{ W}$ (dijagram b) i $P_{g1} = 10 \text{ W}$ (dijagram c).



Slika 6.31 – Utjecaj promjene snage primarnog grijajućega na proračunsku toplinsku vodljivost za slučaj uređaja sa promjerom uzorka 200 mm i visine uzorka 20 mm.

Povećanjem snage primarnog grijajućeg P_{g1} smanjuje se preciznost proračuna toplinske vodljivosti. Najprecizniji rezultat se dobiva kod manjih snaga primarnog grijajućeg ($P_{g1} = 1 \text{ W}$) za promjer primarnog grijajućeg $d_{g1} = 33 \text{ mm}$ i debljinu izolacije $x_{izo} = 50 \text{ mm}$.

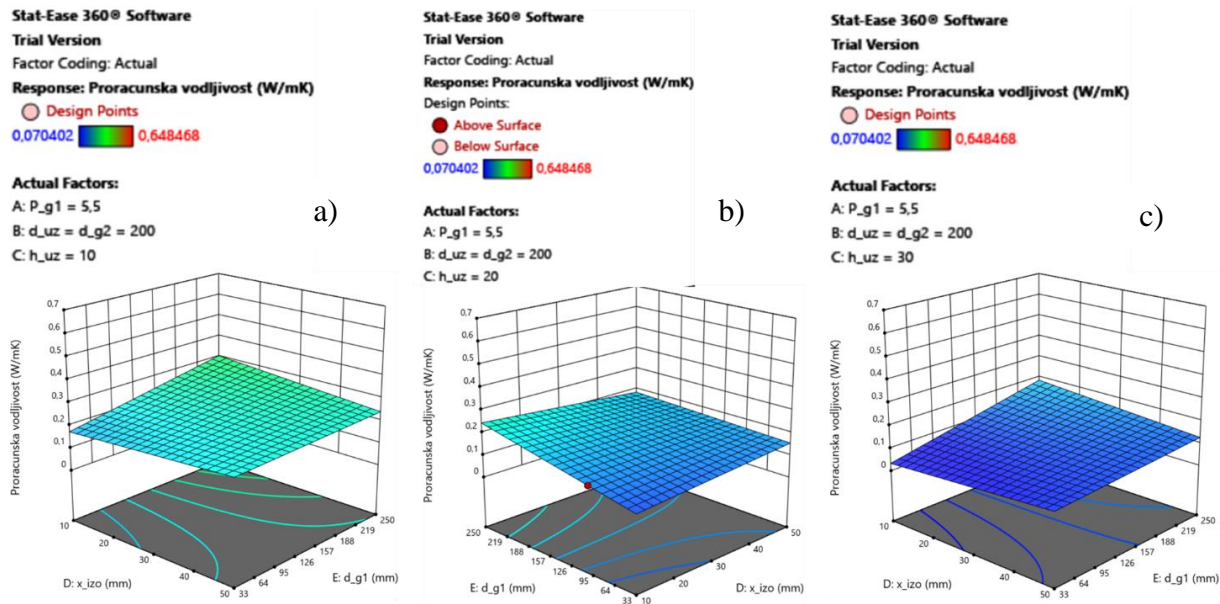
Na slici 6.32 prikazani su dijagrami s osima promjer primarnog grijajućeg (E: d_g1) i debljinom izolacije (D: x_{izo}). Mijenjana je vrijednost promjera uzorka (B: $d_{uz} = d_{g2}$) i to za vrijednosti $d_{uz} = d_{g2} = 100$ mm (dijagram a), $d_{uz} = d_{g2} = 200$ mm (dijagram b) i $d_{uz} = d_{g2} = 300$ mm (dijagram c).



Slika 6.32 – Utjecaj promjene promjera uzorka na proračunsku toplinsku vodljivost za slučaj uređaja sa snagom primarnog grijajuća 5.5 W i visine uzorka 20 mm.

Povećanjem promjera uzorka $d_{uz} = d_{g2}$ smanjuje se utjecaj promjera primarnog grijajućeg d_g1 i povećava se preciznost proračuna toplinske vodljivosti. Najprecizniji rezultat proračunske toplinske vodljivosti dobije se za veće promjere uzorka ($d_{uz} = d_{g2} = 300$ mm) sa promjerom primarnog grijajućeg $d_g1 = 250$ mm i debljinom izolacije $x_{izo} = 50$ mm.

slici 6.33 prikazani su dijagrami s osima promjer primarnog grijajuća (E: d_{g1}) i debljinu izolacije (D: x_{izo}). Mijenjana je vrijednost visine uzorka (C: h_{uz}) i to za vrijednosti $h_{uz} = 10$ mm (dijagram a), $h_{uz} = 20$ mm (dijagram b) i $h_{uz} = 30$ mm (dijagram c).



Slika 6.33 – Utjecaj promjene visine uzorka na proračunsku toplinsku vodljivost za slučaj uređaja sa snagom primarnog grijajuća 5.5 W i promjerom uzorka 200 mm.

Povećanjem visine uzorka h_{uz} povećava se preciznost proračuna toplinske vodljivosti za slučaj uređaja sa snagom primarnog grijajuća $P_{g1} = 5.5$ W i promjerom uzorka $d_{uz} = d_{g2} = 200$ mm. Najprecizniji rezultati proračunske toplinske vodljivosti dobivaju se za veće visine uzorka ($h_{uz} = 30$ mm) i debljinu izolacije $x_{izo} = 50$ mm a promjer primarnog grijajuća $d_{g1} = 33$ mm.

7. Zaključak

Nakon provedenih pokusa i analize rezultata primjećuje se da je postizanje visoke točnosti proračunske toplinske vodljivosti moguće korištenjem više različitih kombinacija vrijednosti konstrukcijskih veličina. Smanjenjem snage primarnog grijaca uglavnom se dobivaju rezultati veće točnosti, a povećanjem volumena uzorka, bilo povećanjem promjera ili visine uzorka, također se povećava preciznost dobivene proračunske toplinske vodljivosti. Iz dijagrama je vidljivo da se povećanjem debljine izolacije negativno utječe na točnost rezultata, što potvrđuje i tablica sa rezultatima pokusa u kojoj se vidi da su vrijednosti toplinske vodljivosti bliže stvarnoj vrijednosti za slučaj manjih vrijednosti debljine izolacije.

Uz debljinu izolacije grijaca koja je predefinirana na 3 mm, a bitna je za konstrukciju, na temelju provedene analize pokazalo se da najprecizniji rezultat proračuna toplinske vodljivosti daju sljedeće vrijednosti parametara: snaga primarnog grijaca $P_{gI} = 5.5$ W, promjer uzorka $d_{uz} = 200$ mm, visina uzorka $h_{uz} = 30$, debljina izolacije $x_{izo} = 30$ mm i promjer primarnog grijaca $d_{gI} = 95$ mm. Uz te parametre dobiva se proračunska vodljivost $\lambda = 0.070402$ W/mK, što je odstupanje od 0.57 %, ali je vrijeme potrebno za postizanje stacionarnog stanja dugo i iznosi nešto manje od 20 sati. Kombinacijom sljedećih parametara dobije se i dalje prihvatljivo odstupanje proračunske od stvarne toplinske vodljivosti, ali uz znatno kraće vrijeme ispitivanja: snaga primarnog grijaca $P_{gI} = 1$ W, promjer uzorka $d_{uz} = 300$ mm, visina uzorka $h_{uz} = 30$ mm, debljina izolacije $x_{izo} = 10$ mm i promjer primarnog grijaca $d_{gI} = 250$ mm. Odstupanje je 1.75 %. Vrijeme potrebno za ispitivanje iznosi 11,35 sati.

S obzirom da se u oba slučaja radi o dugotrajnom ispitivanju, neprimjerenom za demonstraciju na laboratorijskim vježbama, razlika u vremenu trajanja ispitivanja nema velikog značaja. Stoga bi trebalo odabrati prvu kombinaciju konstrukcijskih parametara s ciljem dobivanja preciznijeg mjerjenja toplinske vodljivosti izolacijskih materijala.

Proведенom analizom u ovom radu se pokazalo da najveći utjecaj na preciznost mjerene toplinske vodljivosti imaju snaga grijaca i visina uzorka. Kod izvedbe uređaja, treba razmotriti mogućnost ugradnje grijaca čija se snaga može podešavati u određenom rasponu, a kako bi se u praktičnoj primjeni omogućilo variranje ovog parametra. Također, prikazanom izvedbom uređaja omogućeno je korištenje uzoraka različitih visina. Ovim bi se omogućilo precizno podešavanje parametara prilikom praktične primjene uređaja.

Literatura

1. Gu, J.: *Thermally conductive polymer composites*, Elsevier, Amsterdam, 2023.
2. Almusaed, A. i Almssad, A.: *Insulation Materials in Context of Sustainability*, IntechOpen, 2016.
3. Zaimović-Uzunović, N. i Lemeš, S.: *Metod konačnih elemenata*, Dom štampe Zenica, 2002.
4. Cengel, Y., Ghajar, A.: *Heat and mass transfer*, Fifth edition, The McGraw-Hill Companies, 2015.